



УНИВЕРСИТЕТ
ПОБАЧЕВСКОГО
НИЖНЕННОВГОРОДСКИЙ ГОСУДАРСТВЕННЫЙ УНИВЕРСИТЕТ

НЕЙРОМОРФНЫЕ МОДЕЛИ ИСКУССТВЕННОГО ИНТЕЛЛЕКТА

Сусанна Гордлеева

д.ф.-м.н., доцент,

руководитель центра нейроморфных вычислений ИТ-кампusa НЕЙМАРК

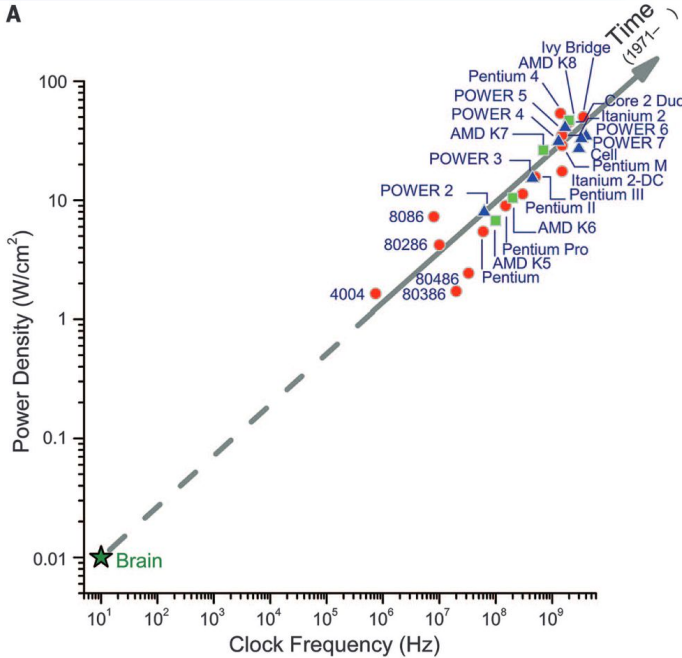
проф. каф. нейротехнологий, директор НИИ нейронаук ННГУ

gordleeva@neuro.nnov.ru

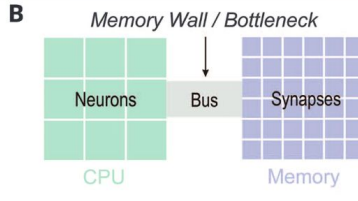
НЕЙМАРК

СЛОЖНОСТЬ МОДЕЛЕЙ

A



B



C

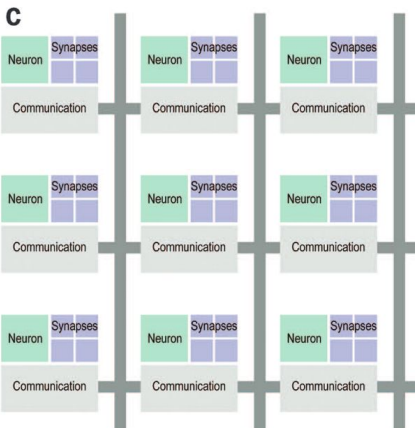


Fig. 1. Computation, communication, and memory. (A) The parallel, distributed architecture of the brain is different from the sequential, centralized von Neumann architecture of today's computers. The trend of increasing power densities and clock frequencies of processors (29) is headed away from the brain's operating point. Number and POWER processors are from IBM, Incorporated; AMD, Advanced Micro Devices, Incorporated; Pentium, Itanium, and Core 2 Duo, Intel, Incorporated. (B) In terms of computation, a single processor has to simulate both a large number of

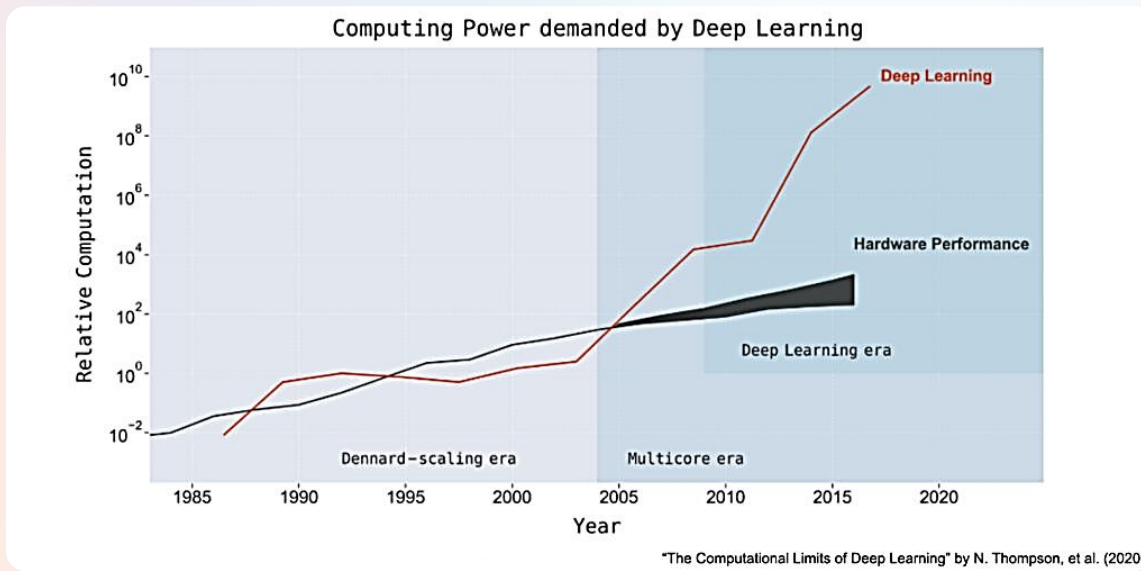
of memory, the von Neumann bottleneck (15), which is caused by separation between the external memory and processor, leads to energy-hungry data movement when updating neuron states and when retrieving synapse states. In terms of communication, interprocessor messaging (25) explodes when simulating highly interconnected networks that do not fit on a single processor. (C) Conceptual blueprint of an architecture that, like the brain, tightly integrates memory, computation, and communication in distributed modules that operate in parallel and communicate via an event-driven network.

СЛОЖНОСТЬ МОДЕЛЕЙ



ChatGPT

Toutefois, l'université de Californie a fait les calculs et estime que **l'entraînement seul de l'IA pour GPT-3 a consommé 1 287 MWh qui ont émis 552 tonnes de CO₂e, soit plus de 205 vols aller-retour entre Paris et New-York.**



<https://incrypted.com/chat-gpt-potratil-energiyu-kak-na-majning-111-btc/>

<https://www.hellowatt.fr/blog/chat-gpt-empreinte-carbone/>

<https://towardsdatascience.com/chatgpts-electricity-consumption-7873483feac4>

<https://ai.stackexchange.com/questions/38970/how-much-energy-consumption-is-involved-in-chat-gpt-responses-being-generated>

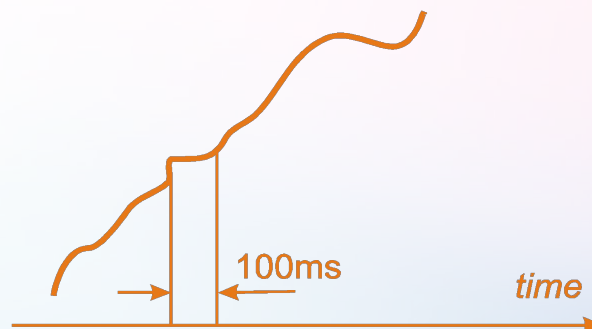
ЕСТЕСТВЕННЫЙ ИИ VS ИСКУССТВЕННЫЙ ИИ



Выживание организма в природе в процессе эволюции
требует высочайшей моторной координации

Welsh and Llinas, 1997

Управление мышцами



Тактовая частота 10 Гц
Энергопотребление 10 Вт

50 групп мышц



10^{15} различных комбинаций



Для решения задачи требуется
процессор с тактовой частотой 10^6
Гц

— НЕЙМАРК

НЕЙРОМОРФНЫЕ СИСТЕМЫ

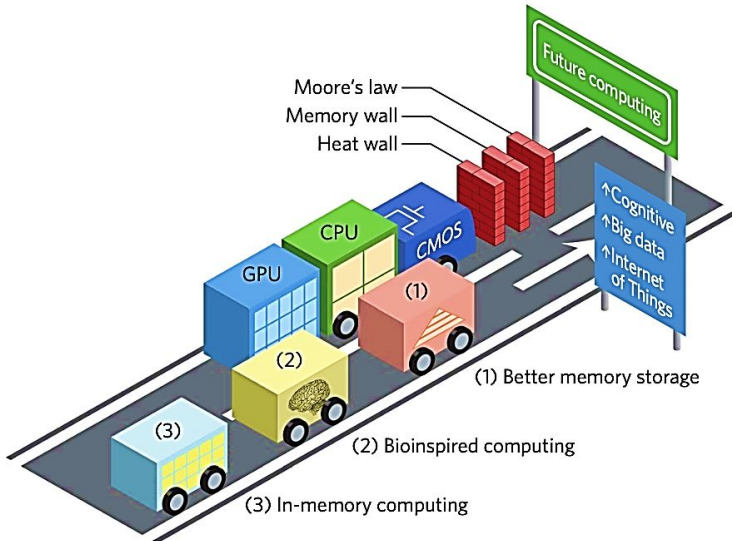
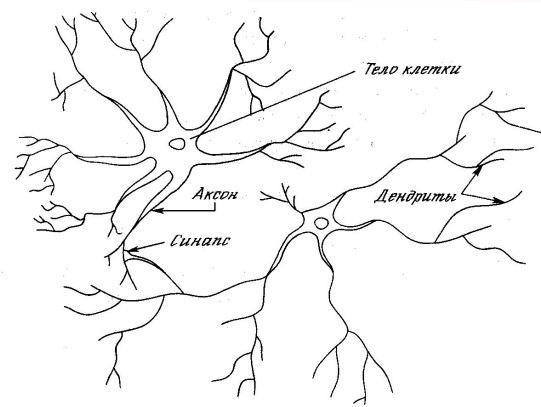


Fig. 1 | The race towards future computing solutions. Conventional computing architectures face challenges including the heat wall, the memory wall and the end of Moore's law. Developments in memristor technology may provide an alternative path that enables hybrid memory-logic integration, bioinspired computing and efficient reconfigurable in-memory computing systems. CMOS, complementary metal-oxide-semiconductor; GPU, graphics processing unit; CPU, central processing unit.

<https://www.nature.com/articles/s41928-017-0006-8>



Карвер Мид

В 1990 году ввел термин Neuromorphic Electronic Systems

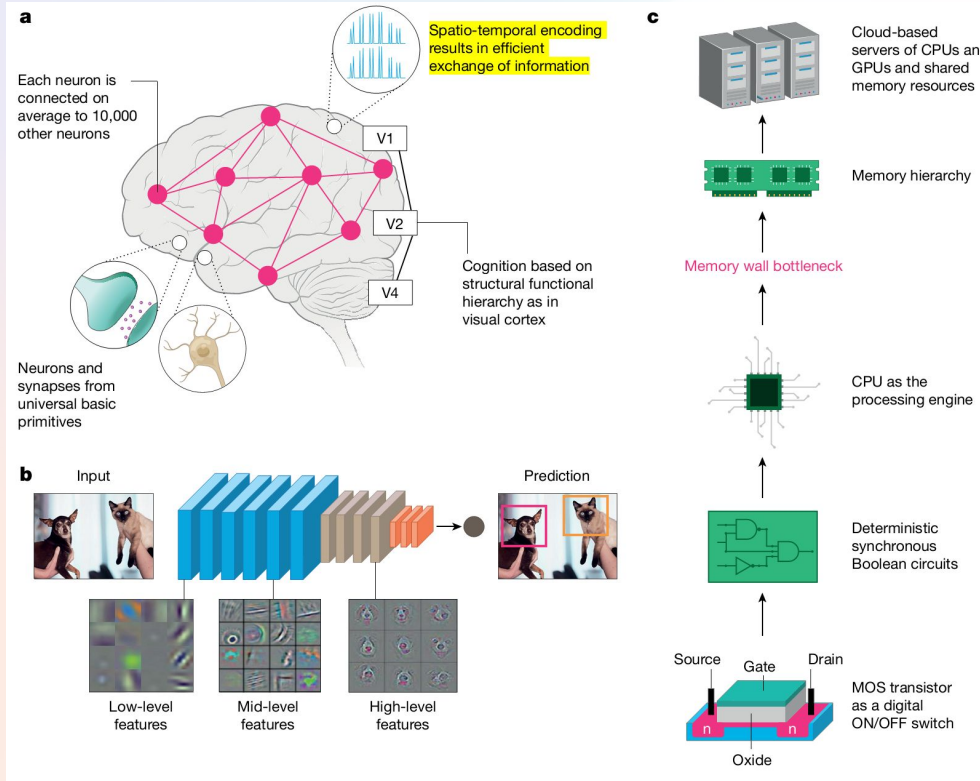
"Biological solutions are many orders of magnitude more effective than those we have been able to implement using digital methods. Large-scale adaptive analog systems are more robust to component degradation and failure than are more conventional systems, and they use far less power. For this reason, adaptive analog technology can be expected to utilize the full potential of water-scale silicon fabrication."

НЕЙРОМОРФНЫЕ СИСТЕМЫ

					
TrueNorth (2014)	Loihi-2 (2021)	Tianjic (2021)	Akida AKD1000 (2022)	AltAI (2023)	NorthPole (2023)
~1M нейронов 4096 ядер 28 нм 430 мм ² ~256M синапсов ~65мВт	~1M нейронов 128 ядер 7 нм 31 мм ² ~67M синапсов ~200 мВт	~ 40K нейронов 156 ядер 28 нм 14,5 мм ² ~10M синапсов ~950 мВт	~1,2M нейронов 80 ядер 28 нм 225 мм ² ~10 млрд синапсов ~100мкВ-300 мВт	~130K нейронов 256 ядер 28 нм 64 мм ² ~67M синапсов ~100-500 мВт	? нейронов 256 ядер 12 нм ? мм ² ? синапсов ?12 Вт

НЕЙМАРК

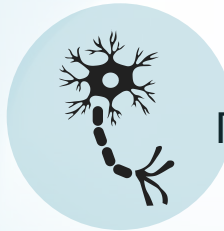
НЕЙРОМОРФНЫЙ ИСКУССТВЕННЫЙ ИНТЕЛЛЕКТ



Разработка новых технологий
искусственного интеллекта на основе
биологически релевантных моделей
нейронных сетей, реализующих
принципы обработки информации в
мозге

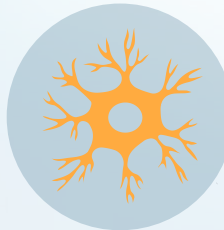
ТИПЫ КЛЕТОК МОЗГА

НЕЙРОНЫ



Передача, обработка и хранение информации

ГЛИАЛЬНЫЕ КЛЕТКИ



Питание, обеспечение нейронов,
сигнальная функция и др.

КЛЕТКИ КРОВЕНОСНЫХ СОСУДОВ



Питание мозга нутриентами и
кислородом
Добавка БАВ
Часть ГЭБ

НЕЙРОН

Сома или тело

Диаметр сомы 100 мкм и более, у самых мелких – 5 мкм

Дендриты

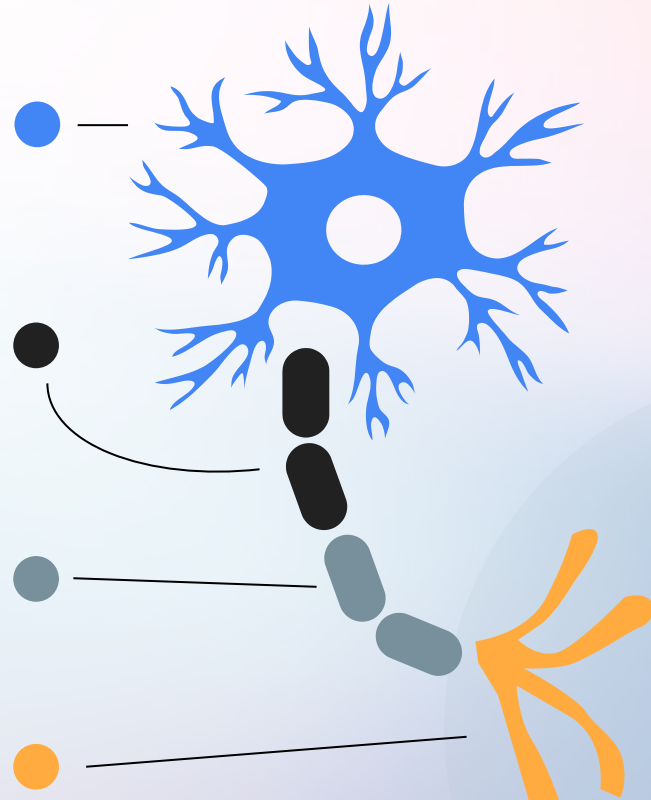
Выросты, которые обеспечивают пространственную локализацию нейрона. На них располагаются синапсы с другими нейронами. Некоторые дендриты имеют «шипики», которые являются постсинаптической частью

Аксон

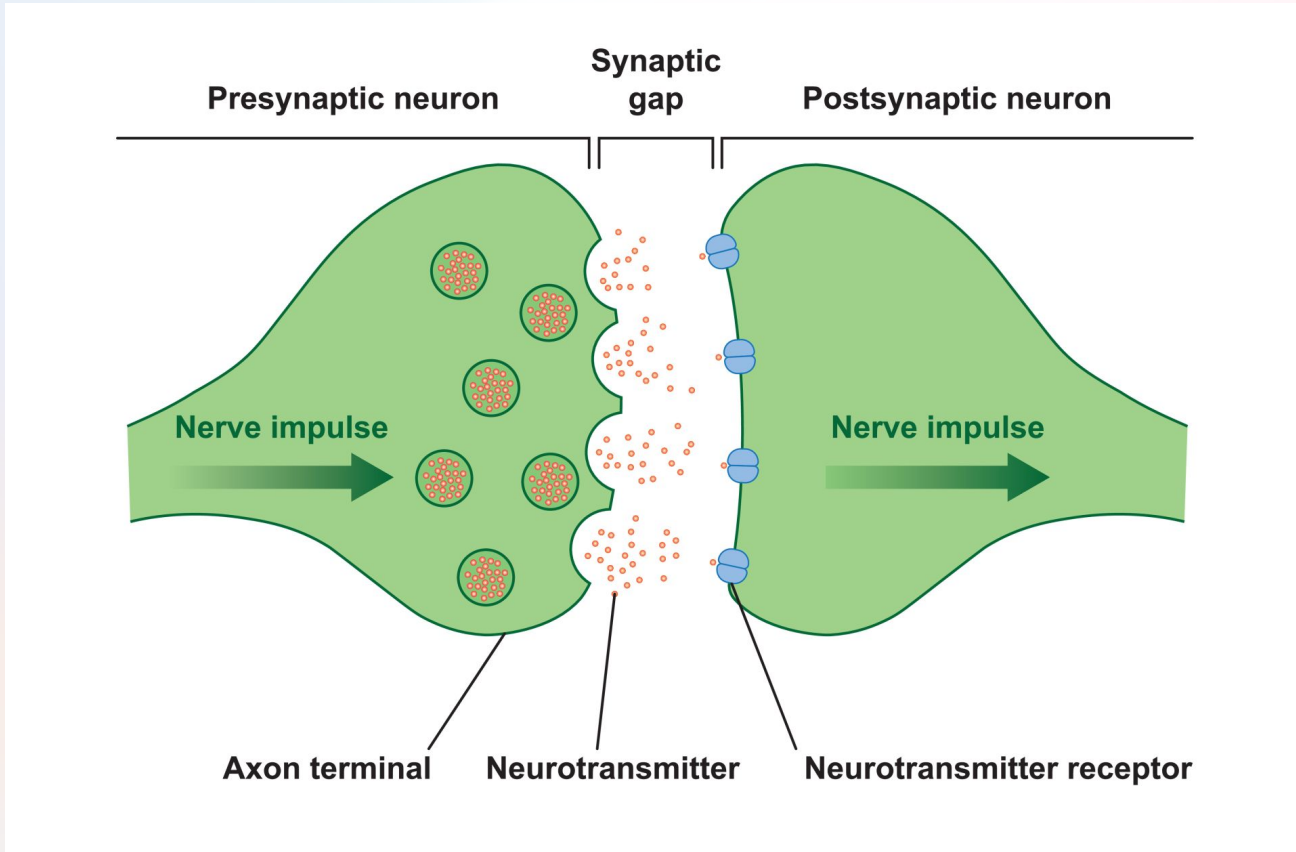
Удлиненный вырост структурно и функционально приспособленный для передачи потенциала действия. Может иметь миелиновую оболочку

Аксональные пресинаптические терминали

Отвечают за передачу информации



КАК НЕЙРОНЫ МЕЖДУ СОБОЙ ОБЩАЮТСЯ?

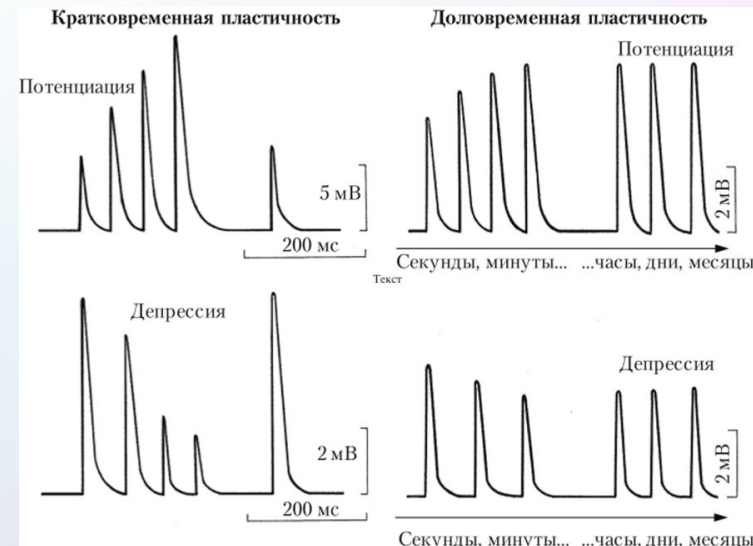
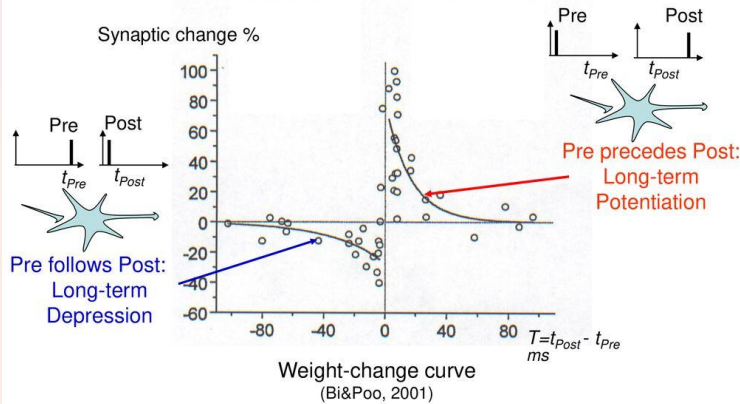


НЕЙМАРК

КАК НЕЙРОНЫ МЕЖДУ СОБОЙ ОБЩАЮТСЯ?

Согласно **STDP-правилу**, изменения в эффективности связи происходят при близкой во времени генерации импульсов на пресинаптическом (нейроне-передатчике) и постсинаптическом (нейроне-приёмнике) нейрона: связь усиливается, если импульс на пресинапсе опережает импульс на постсинапсе, и ослабляется в обратном случае.

Spike-timing-dependent plasticity (STDP): Some vague shape similarity



ИСКУССТВЕННЫЙ ИНТЕЛЛЕКТ

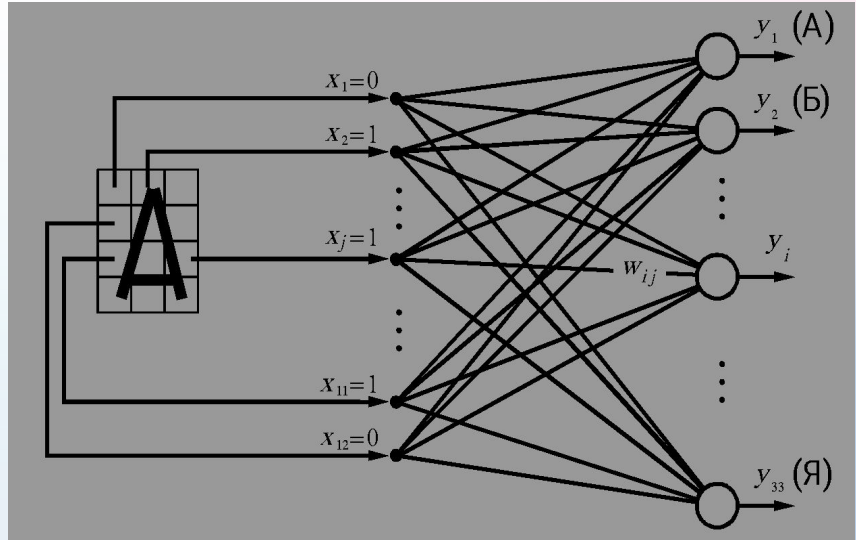


Герберт Саймон

Тот кто, владеет Искусственным
Интеллектом – то станет
Властелином Мира!

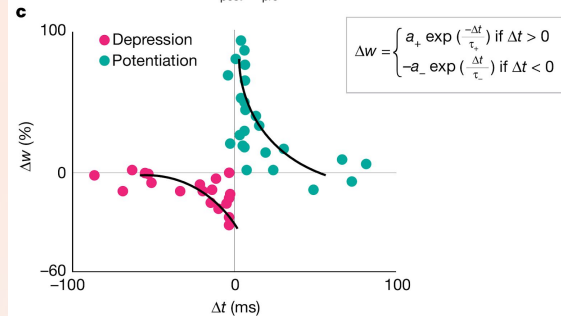
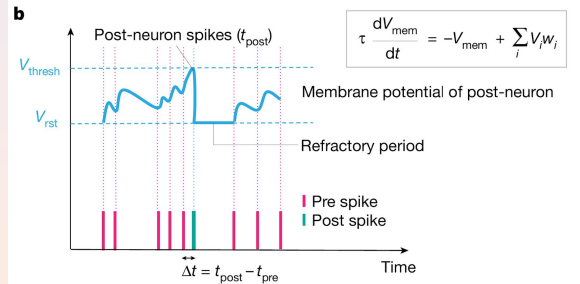
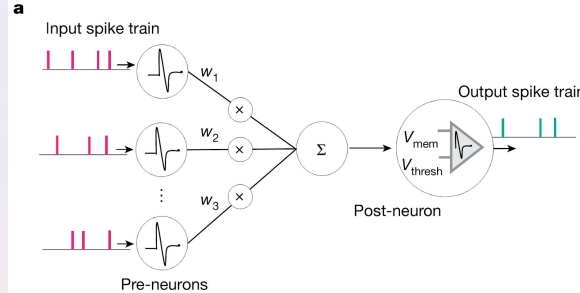


Фрэнк Розенблatt

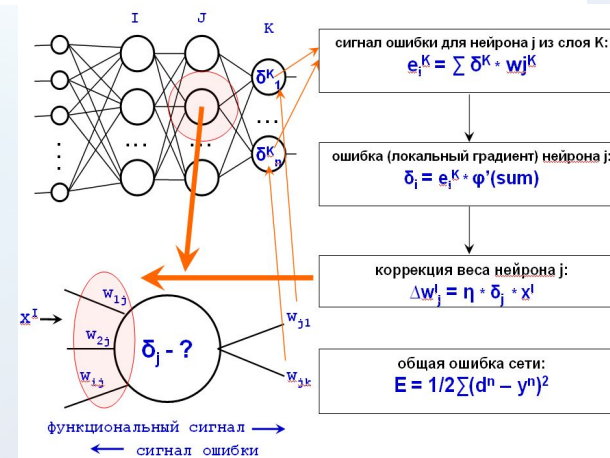
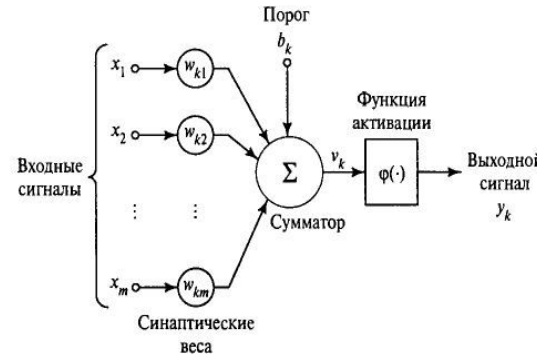


— НЕЙМАРК

LEARNING IN SNN. ANN versus SNN



S
T
D
P



BackPro
p

НЕЙМАРК

МОЗГ И ИИ

Механизмы реализации информационных (когнитивных) функций

Нейрон

аналоговый элемент с собственной
нетривиальной динамикой

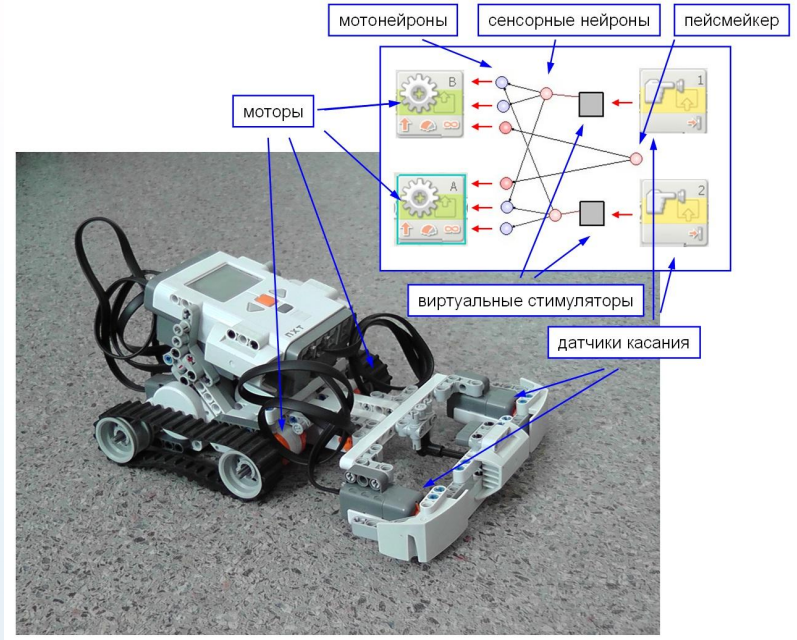
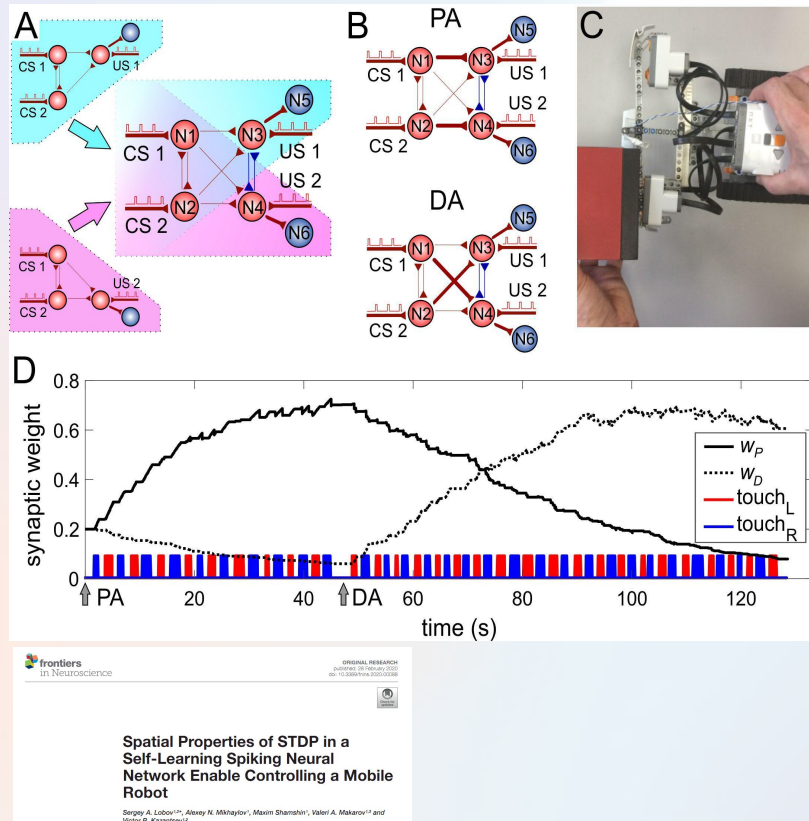
- Нейронная сеть формируется за счет синаптических связей с пластичностью
- Нейронные сети мозга структурированы – обладают определенной архитектурой
- Архитектура сети пластична (*rewiring*)
- Число элементов сети (нейронов и синапсов) – динамически изменяемо
- Нейронная сеть обучается в интерфейсе с исполнительными устройствами

Формальный нейрон

алгебраическая функция с бинарным выходом

- Искусственная нейронная сеть (ИНС) формируется за счет направленных связей с настраиваемым весом
- ИНС имеют слоистую структуру
- Архитектура сети статична
- Число элементов сети фиксировано (в редких случаях могут добавляться нейроны при обучении)

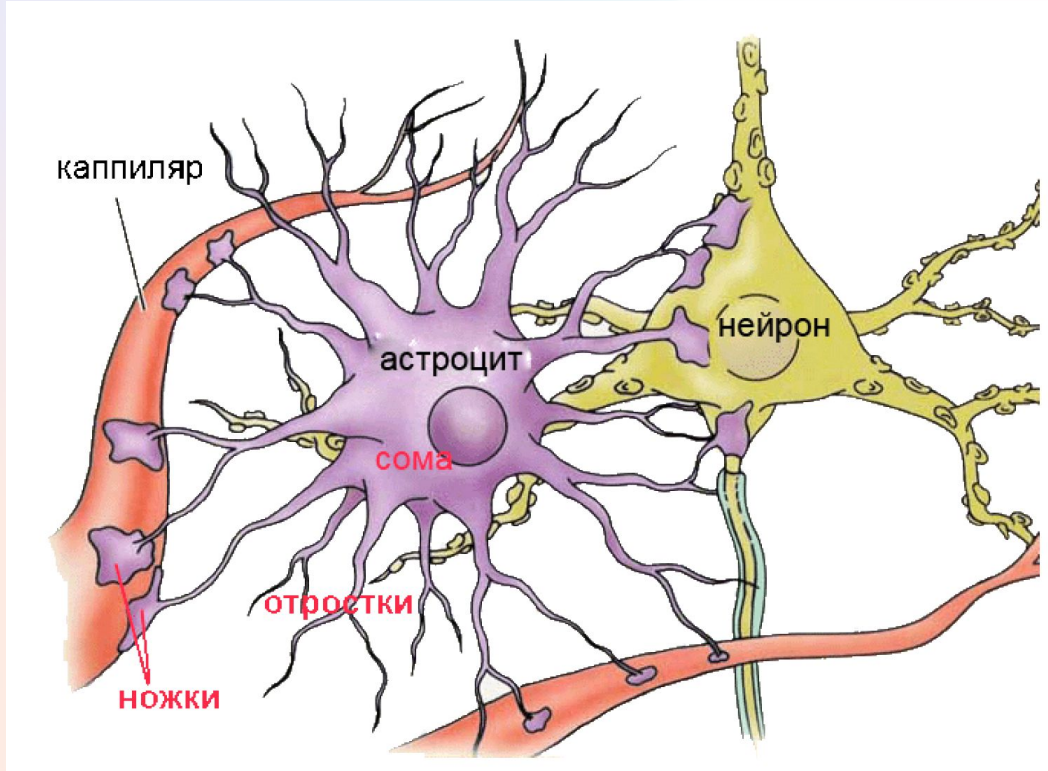
ASSOCIATIVE LEARNING IN SNNs



Robot under control of spiking neural network with conditional learning

— НЕЙМАРК

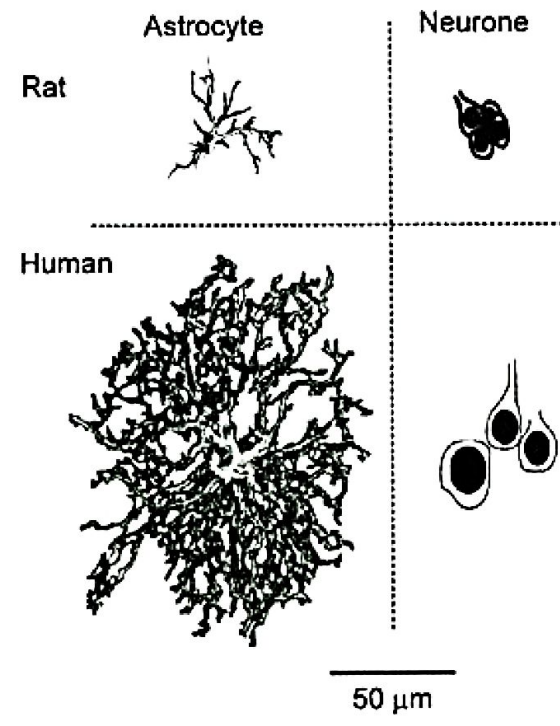
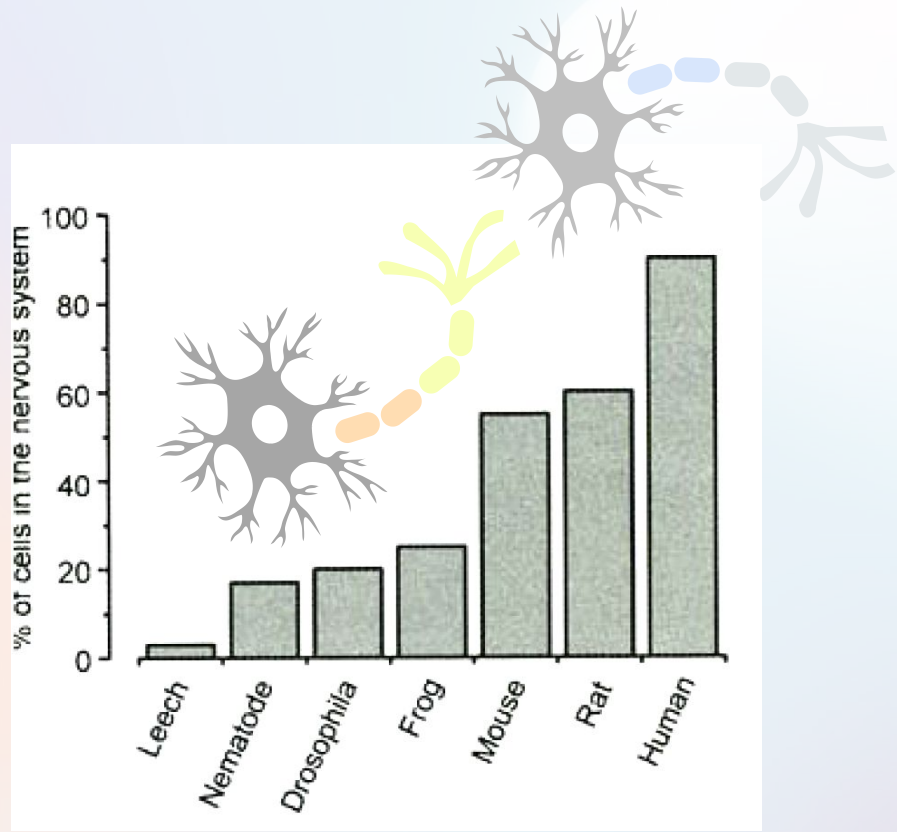
АСТРОЦИТЫ



Функции:

- Гомеостатическая, то есть поддержание ионного и химического состава среды
- Метаболическая, то есть синтез и разложение веществ
- Сигнальная – передача сигнала
- Трофическая, то есть влияние на рост и развитие нейронов

НЕЙРОНЫ, ГЛИЯ И ОРГАНИЗАЦИЯ МОЗГА



НЕЙМАРК

НЕЙРОНЫ, ГЛИЯ И ОРГАНИЗАЦИЯ МОЗГА

Мозг Эйнштейна

Увеличение сложности отростков астроцитов

BRAIN RESEARCH REVIEWS 52 (2006) 257–263

available at www.sciencedirect.com

 ScienceDirect

www.elsevier.com/locate/brainresrev

**BRAIN
RESEARCH
REVIEWS**

Review

Cerebral cortex astroglia and the brain of a genius: A proposal of A. Einstein's

Jorge A. Colombo^{a,*}, Hernán D. Reisin^a, José J. Miguel-Hidalgo^b, Grazyna Rajkowska^b

^aUnidad de Neurobiología Aplicada (UNA) (CEMIC-CONICET), Av. Galván 4102, C1431FWO Ciudad de Buenos Aires, Argentina

^bDivision of Neurobiology and Behavior Research, Department of Psychiatry, University of Mississippi Medical Center, Jackson, MS 39216, USA

✉ jcolombo@mdp.edu.ar

^aCorrespondence to: Jorge A. Colombo, Unidad de Neurobiología Aplicada (UNA) (CEMIC-CONICET), Av. Galván 4102, C1431FWO Ciudad de Buenos Aires, Argentina.

^bCorrespondence to: José J. Miguel-Hidalgo, Division of Neurobiology and Behavior Research, Department of Psychiatry, University of Mississippi Medical Center, Jackson, MS 39216, USA.

Received 12 January 2006; accepted 12 April 2006

Available online 15 May 2006

Editorial handling: Michael S. Gazzaniga

Keywords: Astrocytes; Cerebral cortex; Genius; Glial fibrillary acidic protein; Human brain; Neuronal activity

Abstract The present study was aimed at investigating the glial morphology of the cerebral cortex of the most famous genius of all time, Albert Einstein. We performed immunohistochemical analysis of the cortical tissue of Einstein's brain using antibodies against glial fibrillary acidic protein (GFAP), vimentin, and nestin. GFAP-positive processes were found to be more complex and branched than those observed in control subjects. In addition, the density of GFAP-positive puncta was significantly higher in Einstein's cortex compared to that in control subjects. These findings support the hypothesis that the increased complexity of the glial network may be associated with the increased complexity of the neuronal network in Einstein's brain. © 2006 Elsevier Inc. All rights reserved.

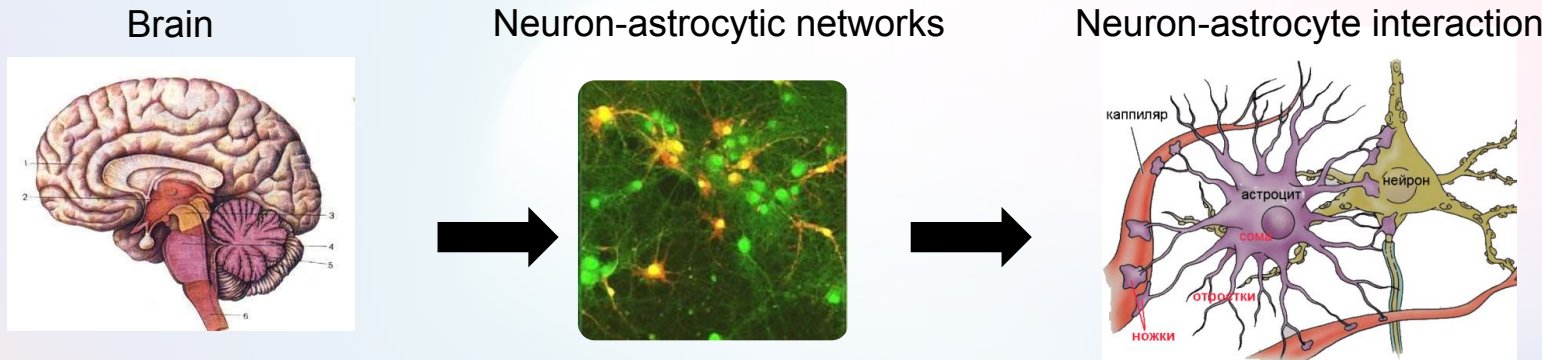
Article Outline

- 1. Introduction
- 2. Materials and methods
- 3. Results
- 4. Discussion
- 5. Conclusion
- 6. Acknowledgments
- 7. References



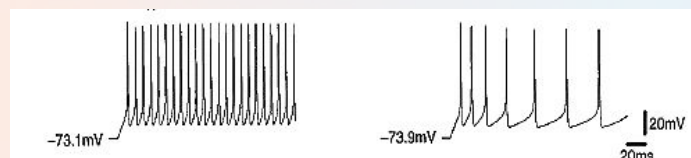
НЕЙМАРК

НЕЙРОН-АСТРОЦИТАРНЫЕ СЕТИ



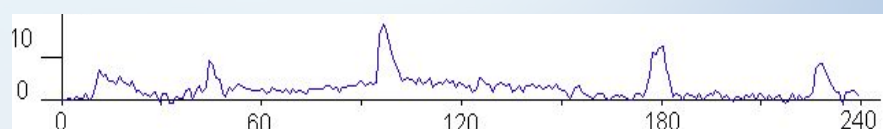
Neurons being the main signal cells of the brain provide the transmission and transformation of sequences of electrical pulses in a neural network.

Astrocytes are not electrically excitable cells. Astrocytes display a form of cellular excitability based on variations of the Ca^{2+} concentration in the cytosol.



Electrical activity in neurons (1 ms)

Izhikevich E.M. Dynamical Systems. The MIT press, 2007



Ca^{2+} - activity in astrocyte (1 s)

— НЕЙМАРК

МОДЕЛЬ КАЛЬЦИЕВОЙ СИГНАЛИЗАЦИИ В АСТРОЦИТАХ

Ca^{2+} -induced Ca^{2+} release (CICR) from the astrocyte's endoplasmic reticulum stores, which depends on cytosolic concentration of the second messenger inositol

1,4,5-trisphosphate (IP_3)

$$\frac{d\text{IP3}}{dt} = \frac{\text{IP3}^* - \text{IP3}}{\tau_{\text{IP3}}} + J_{\text{PLC}} + J_{\text{glu}},$$

$$\frac{d\text{Ca}}{dt} = J_{\text{channel}} - J_{\text{pump}} + J_{\text{leak}} + J_{\text{in}} - J_{\text{out}},$$

$$\frac{dz}{dt} = a_2 \left(d_2 \frac{\text{IP3} + d_1}{\text{IP3} + d_3} (1 - z) - z * \text{IP3} \right),$$

IP3 – intracellular concentration of inositol 1,4,5-trisphosphate,
 Ca – intracellular concentration of free calcium ions in the cytosol,
 Z – Ca^{2+} -mediated deactivation of IP_3 receptor/ Ca^{2+} channels on the ER.

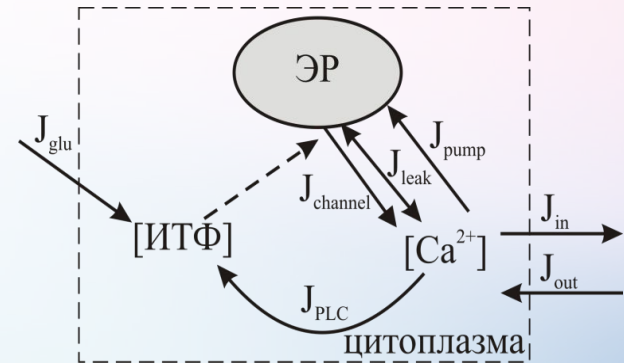
$$J_{\text{channel}} = c_1 v_1 \text{IP3}^3 \text{Ca}^3 z^3 \left(\frac{c_0}{c_1} - (1 + \frac{1}{c_1}) \text{Ca} \right) / [(\text{IP3} + d_1) (\text{Ca} + d_5)]^3,$$

$$J_{\text{PLC}} = v_4 (\text{Ca} + (1 - \alpha) k_4) / (\text{Ca} + k_4),$$

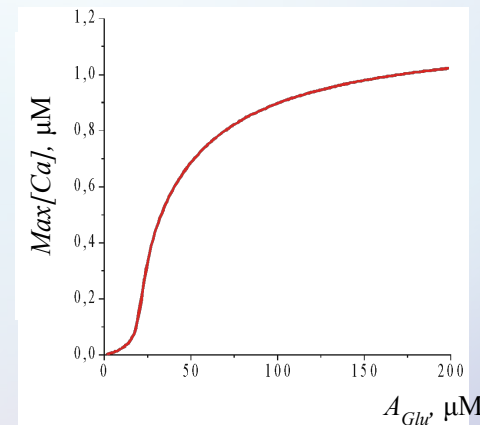
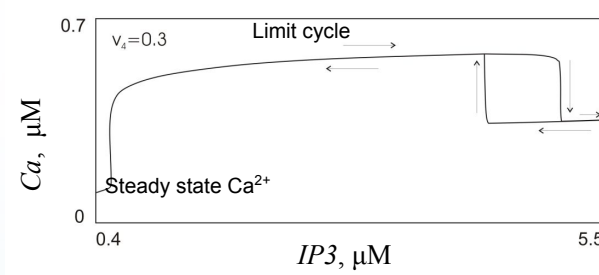
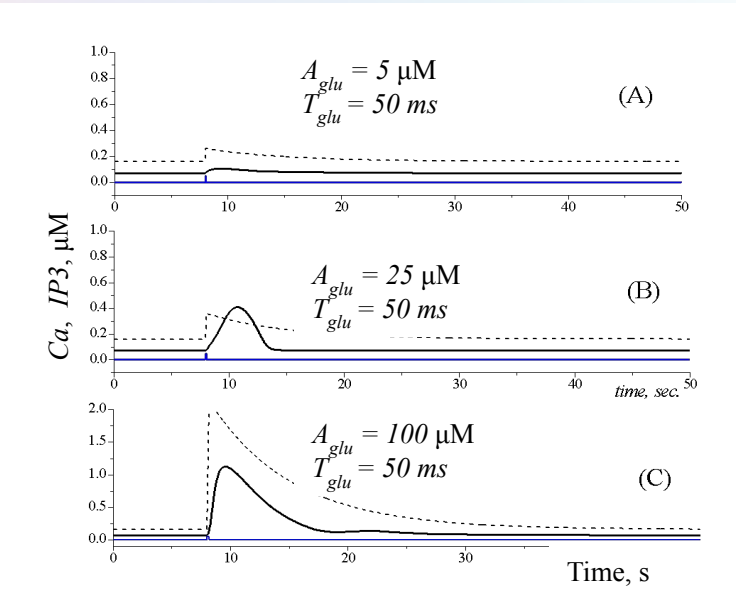
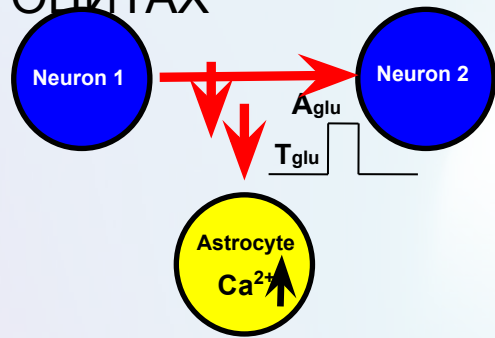
$$J_{\text{leak}} = c_1 v_2 \left(\frac{c_0}{c_1} - (1 + \frac{1}{c_1}) \text{Ca} \right),$$

$$J_{\text{pump}} = v_3 \text{Ca}^2 / (k_3^2 + z^2),$$

$$J_{\text{in}} = v_5 + v_6 \text{IP3}^2 / (k_2^2 + \text{IP3}^2), \quad J_{\text{out}} = k_1 \text{Ca},$$

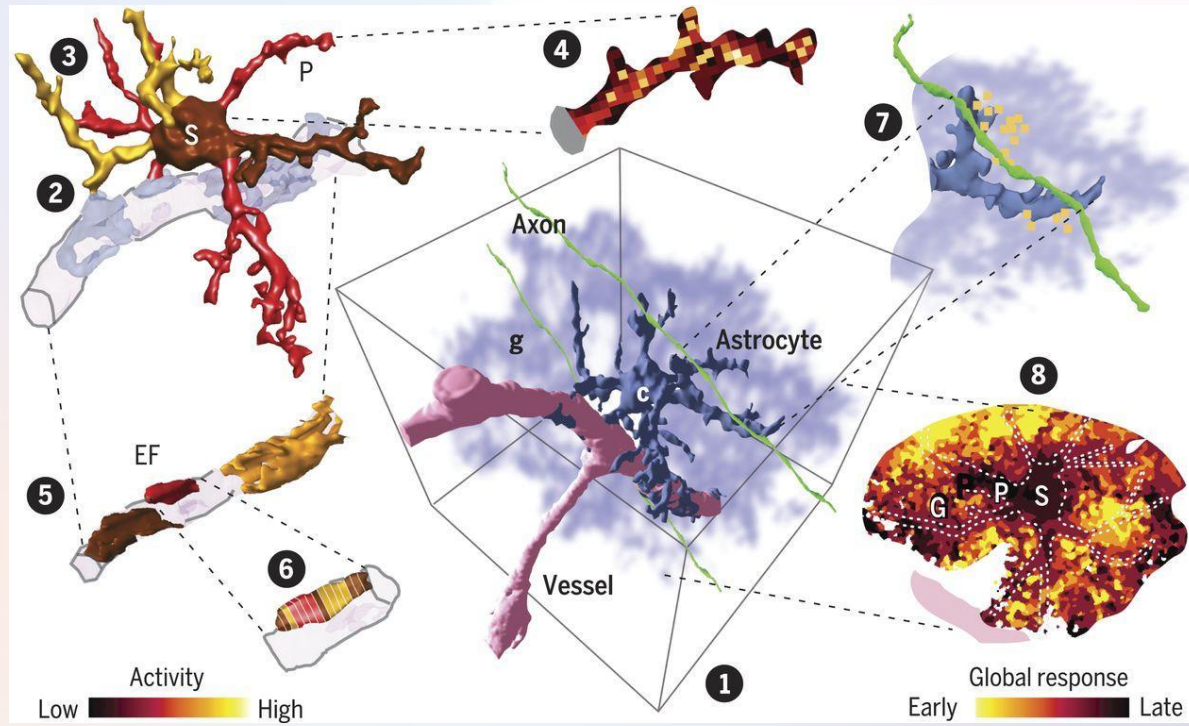


КАЛЬЦИЕВАЯ ДИНАМИКА В АСТРОЦИТАХ

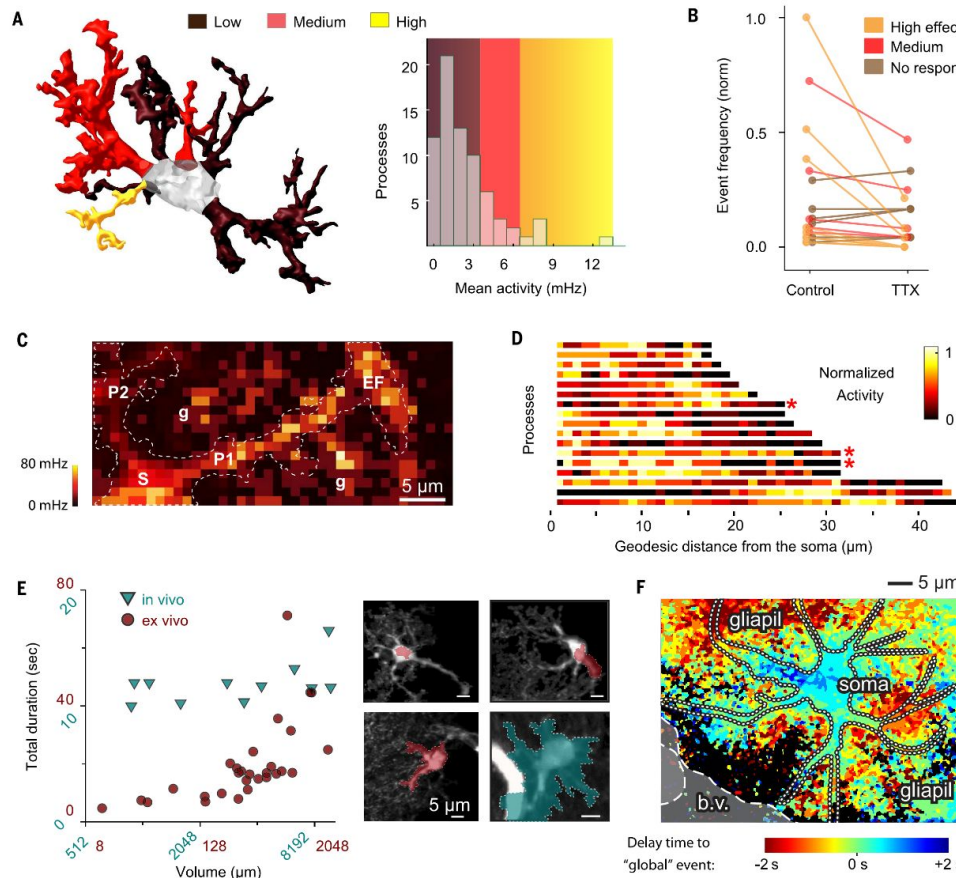


ВНУТРИКЛЕТОЧНАЯ КАЛЬЦИЕВАЯ ДИНАМИКА В АСТРОЦИТАХ

New experimental approaches to study the signaling of astrocytes at qualitatively new spatial-temporal resolutions show that **astrocytic Ca^{2+} activity in processes and soma is highly heterogeneous**.



ВНУТРИКЛЕТОЧНАЯ КАЛЬЦИЕВАЯ ДИНАМИКА В АСТРОЦИТАХ

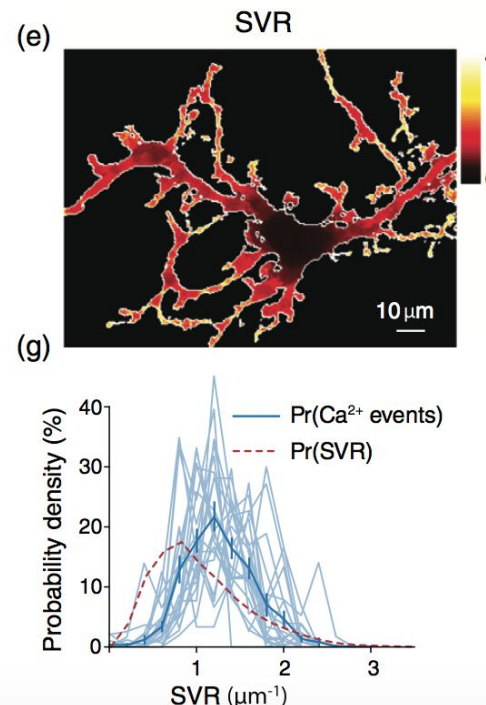
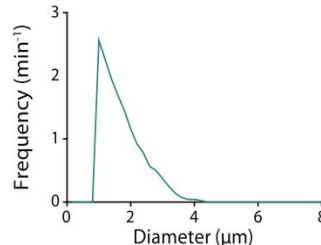
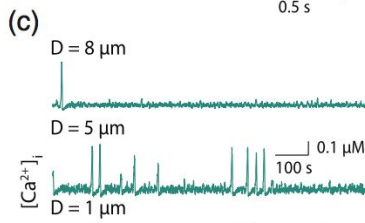
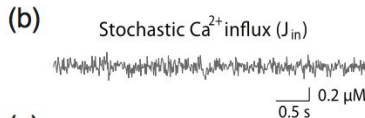
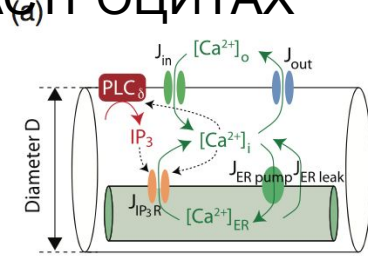


Astrocyte Ca^{2+} signaling is characterized by a complex spatial-temporal profile ranging from small, local fast responses to larger, global but slower responses that result from the integration of signals derived from restricted regions of processes close to synapses.

E. Bindocci et al. Science 2017

НЕЙМАРК

ВНУТРИКЛЕТОЧНАЯ КАЛЬЦИЕВАЯ ДИНАМИКА В АСТРОЦИТАХ



To investigate the mechanisms underlying such subcellular distribution of the Ca^{2+} events we developed a model of spontaneous calcium activity in astrocytic process taken into account the geometry of the cell.

Received: 14 March 2018 | Revised: 19 August 2018 | Accepted: 3 September 2018
DOI: 10.1002/glia.23537

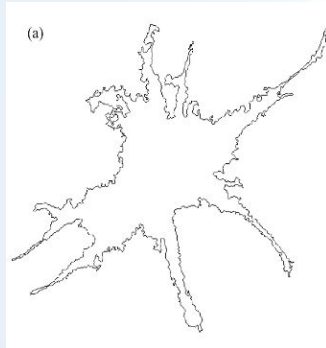
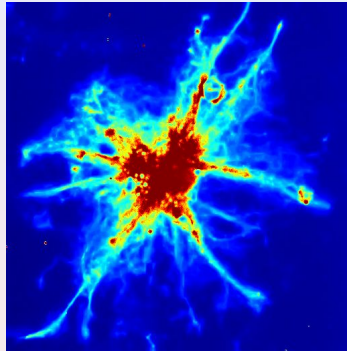
RESEARCH ARTICLE

Morphological profile determines the frequency of spontaneous calcium events in astrocytic processes

Yu-Wei Wu^{1,2} | Susan Gordleeva³ | Xiaofang Tang¹ | Pei-Yu Shih¹ |
Yulia Dembitskaya^{1,3} | Alexey Semyanov^{1,3,4,5} |

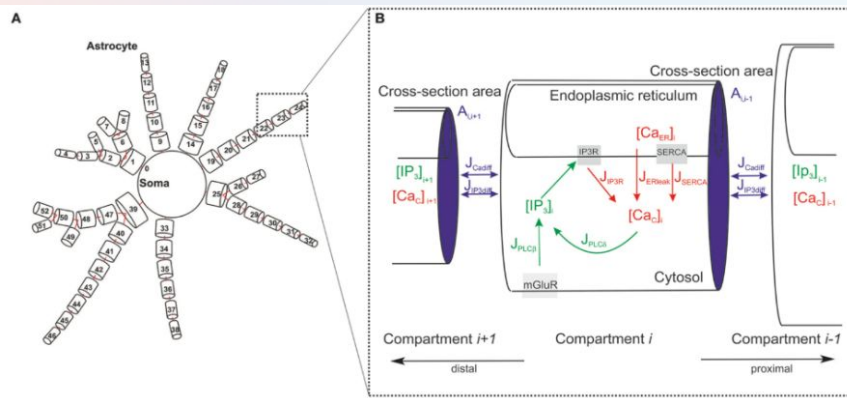
GLIA
WILEY

ВНУТРИКЛЕТОЧНАЯ КАЛЬЦИЕВАЯ ДИНАМИКА В АСТРОЦИТАХ



To analyze mechanisms of correlations between local signals and the global signalization response of the astrocyte including its spatially distributed structure, we propose a **spatially extended model of astrocyte calcium dynamics**

- Зависимость от размеров ЭР и компартмента, учет $[Ca^{2+}]_{ER}(t)$ (Oschmann et al., 2017)
- Детальное описание процессов деградации и производства ИТФ (De Pitta et al., 2009)
- Диффузионная связь между компартментами



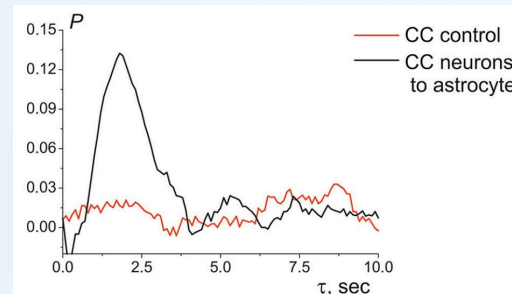
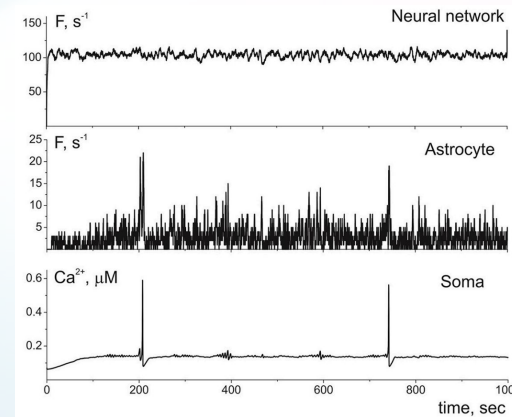
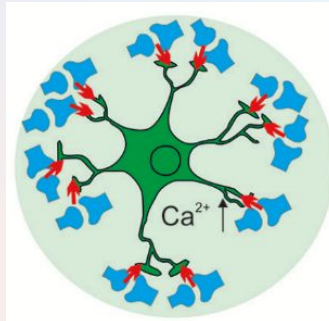
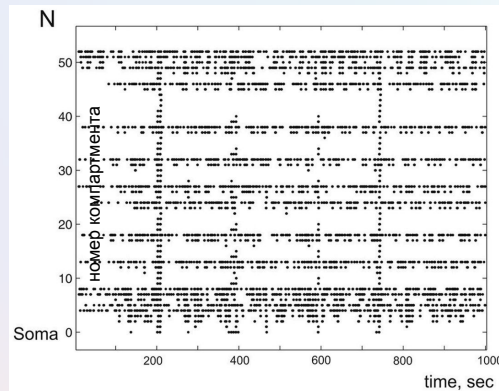
$$\frac{d[Ca^{2+}]_{ij}}{dt} = \sqrt{r_{ER}}(J_{IP_3R} - J_{SERCA} + J_{CERleak}) + J_{Ca_{diff}}$$

$$\frac{d[Ca^{2+}]_{ERj}}{dt} = \frac{1}{\sqrt{r_{ER}}}(-J_{IP_3R} + J_{SERCA} - J_{CERleak}) + J_{CaER_{diff}}$$

$$\frac{d[IP_3]_j}{dt} = J_{PLC\beta} + J_{PLC\delta} - J_{IP_3-3K} - J_{IP-5P} + J_{IP_3 diff}$$

ВНУТРИКЛЕТОЧНАЯ КАЛЬЦИЕВАЯ ДИНАМИКА В АСТРОЦИТАХ

Распространение активности в астроците

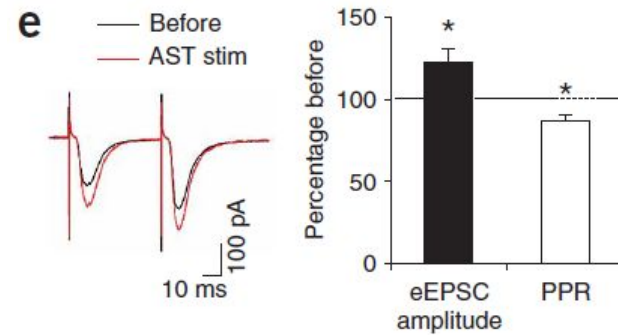
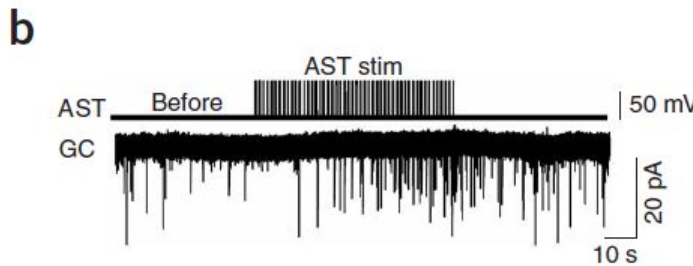
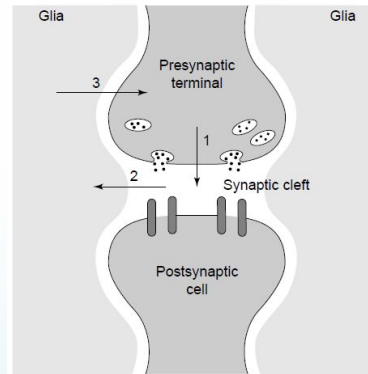
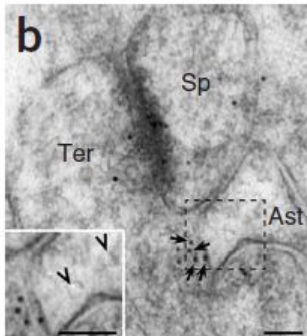
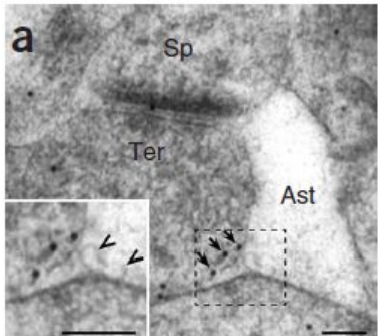


Astrocyte as Spatiotemporal Integrating Detector of Neuronal Activity

Susan Yu. Gordieeva*, Anastasia V. Ermolueva, Innokenty A. Kastalsky and Victor B. Kazantsev

We show that astrocyte can act as temporal and spatial integrator, hence, detecting the level of spatio-temporal coherence in the activity of accompanying neuronal network

КОНЦЕПЦИЯ ТРЕХЧАСТНОГО СИНАПСА

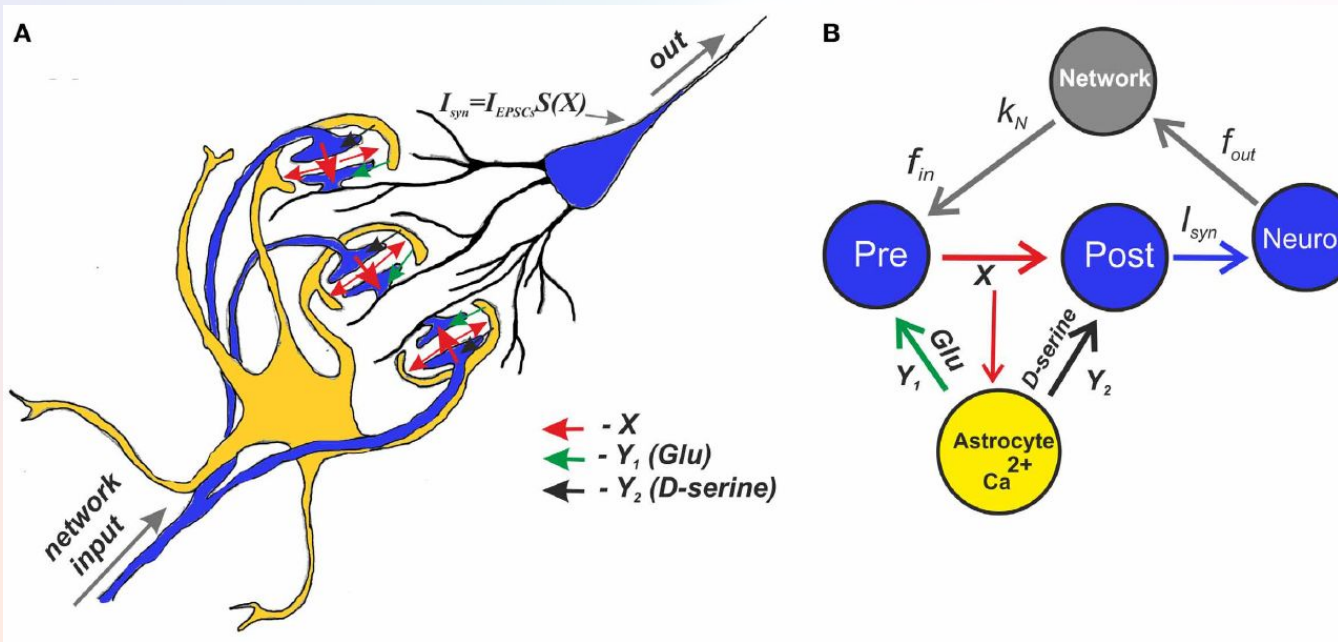


Jourdain P. et. al., Nat. Neurosci. 2007

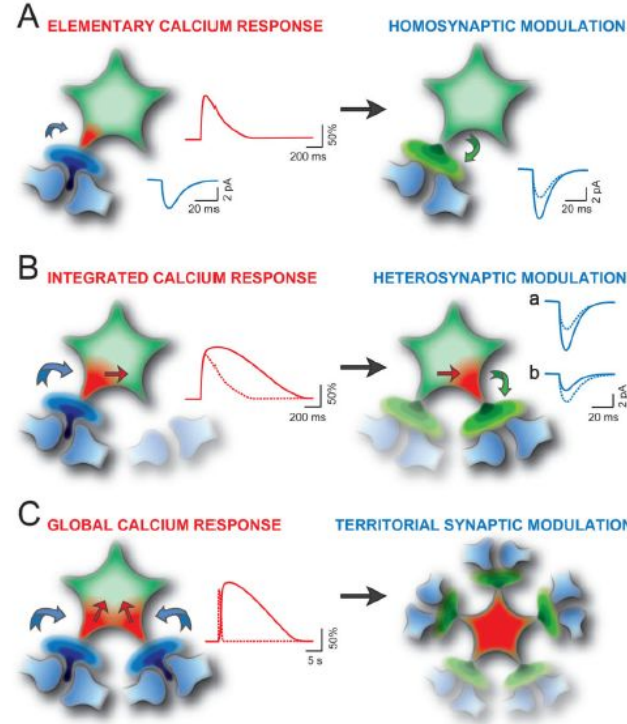
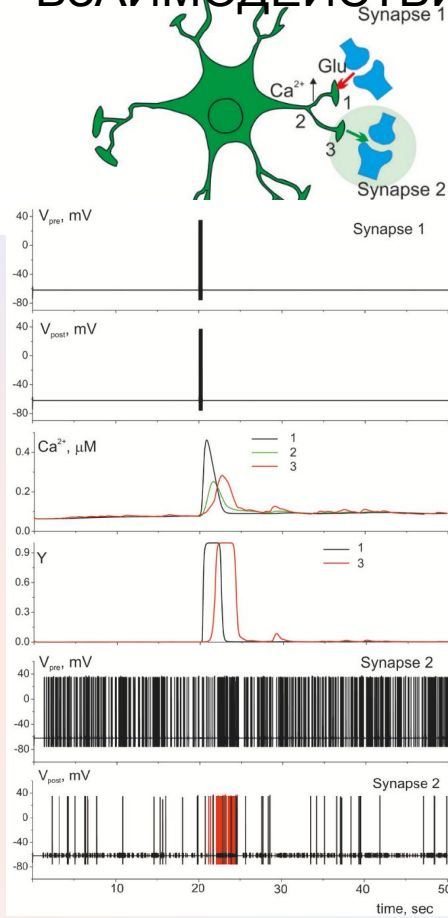
Glutamate exocytosis from astrocytes controls synaptic strength

НЕЙМАРК

МОДЕЛЬ НЕЙРОН-АСТРОЦИТАРНОГО ВЗАИМОДЕЙСТВИЯ



МОДЕЛЬ НЕЙРОН-АСТРОЦИТАРНОГО ВЗАИМОДЕЙСТВИЯ



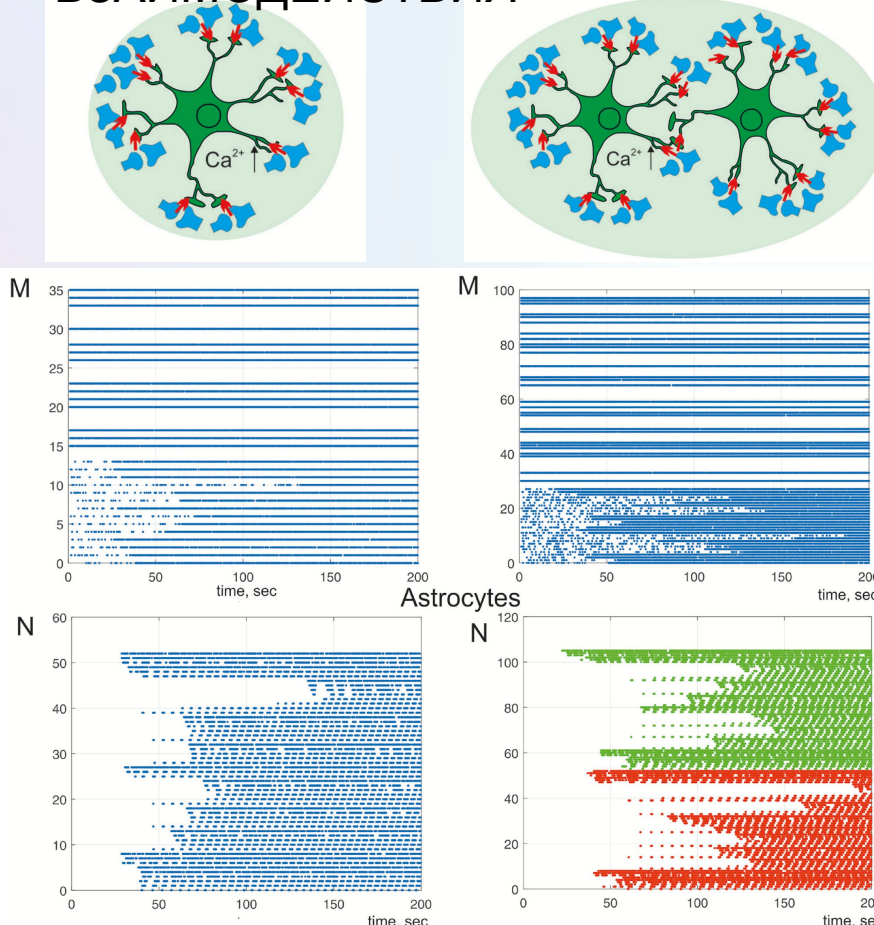
Araque et al., 2014

Different level of the neuronal activity can trigger Ca^{2+} dynamics in astrocyte with various spatio-temporal characteristics which can lead to different astrocytic-induced regulatory effects on synaptic transmission.



НЕЙМАРК

МОДЕЛЬ НЕЙРОН-АСТРОЦИТАРНОГО ВЗАЙМОДЕЙСТВИЯ



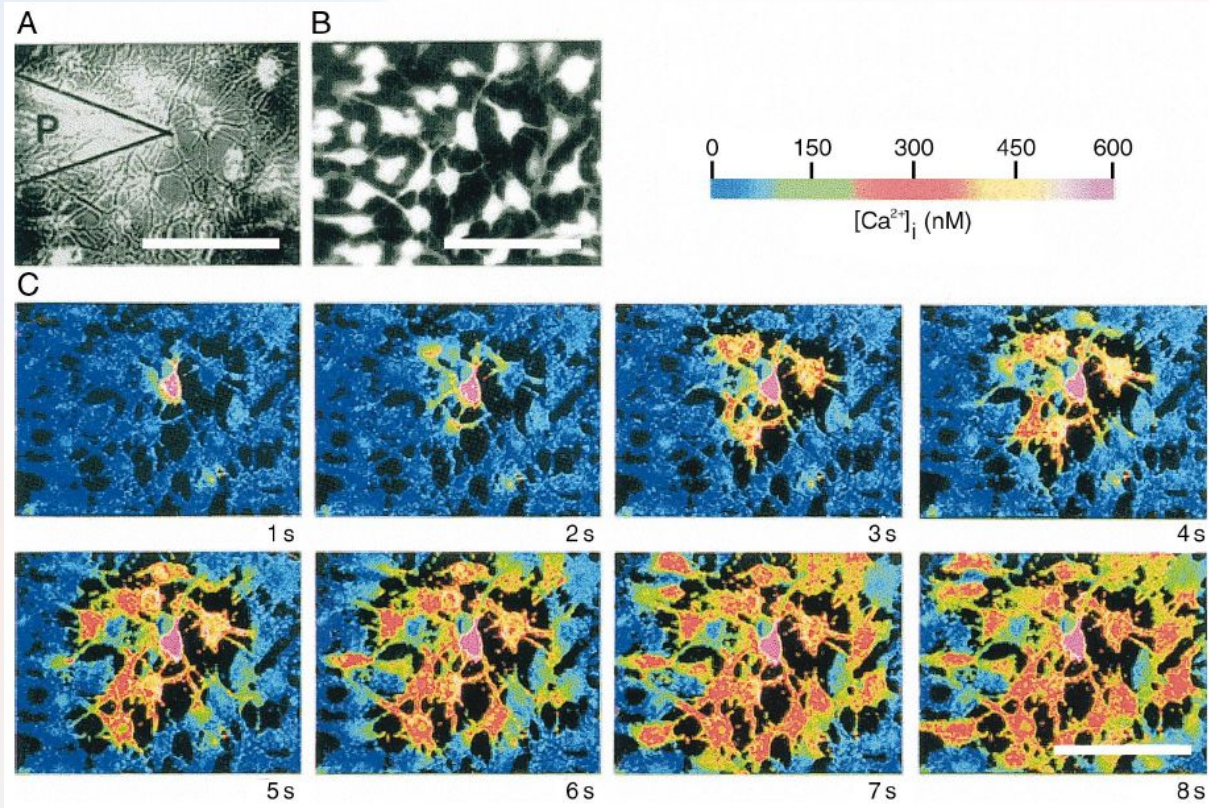
We show that **astrocyte can induce spatial synchronization** in neuronal circuits defined by the morphological territory of the astrocyte. It is known that spatial synchronization in the brain is responsible for various cognitive functions (attention, recognition, navigation, making decisions, etc.) and for various pathologies (epileptic discharges, etc.).



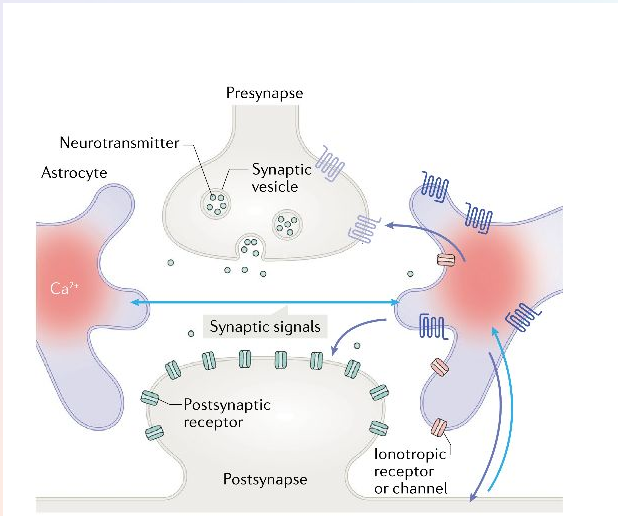
— НЕЙМАРК

АСТРОЦИТАРНЫЕ СЕТИ

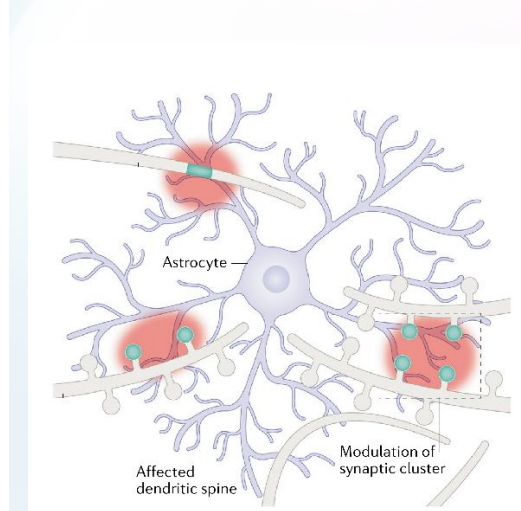
Astrocytes organize in complex networks through connections by gap junction channels. Calcium signals generated in individual cells, can propagate across these networks in the form of intercellular calcium waves, mediated by diffusion of second messengers molecules such as IP3.



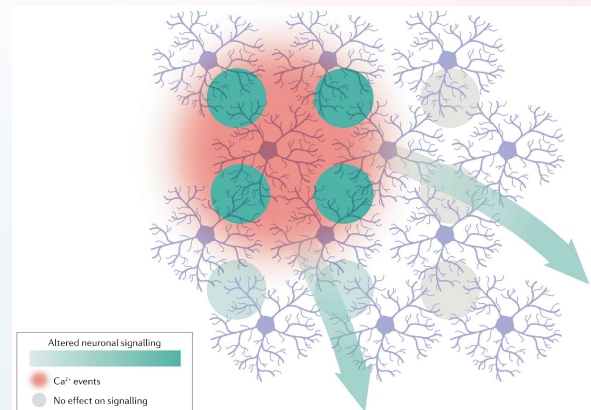
НЕЙРОН-АСТРОЦИТАРНЫЕ СЕТИ



Астроцитарная регуляция передачи
сигнала в одном синапсе

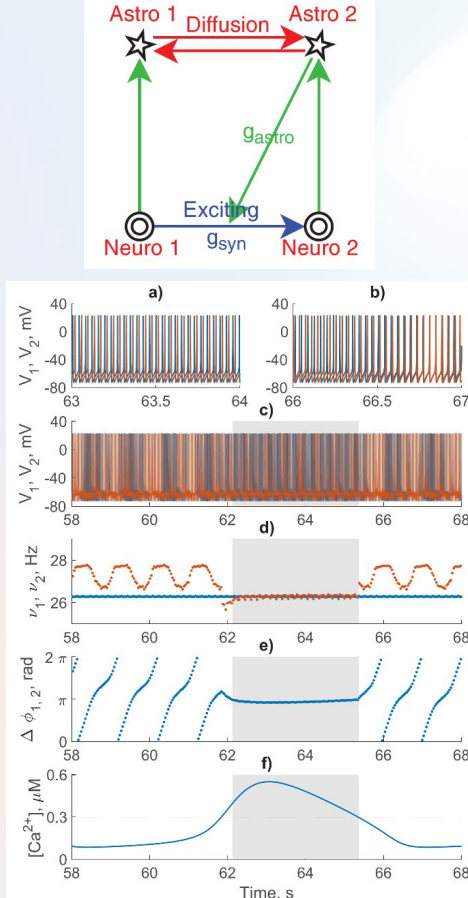


Гетеросинаптическая астроцитарная
модуляция передачи сигнала



Нейрон-астроцитарное взаимодействие
на сетевом уровне

МИНИМАЛЬНАЯ МОДЕЛЬ НЕЙРОН-АСТРОЦИТАРНОЙ СЕТИ



Neuron model (Hodgkin&Huxley, 1952)

$$C \frac{dV^{(i)}}{dt} = I_{channel}^{(i)} + I_{app}^{(i)} + \sum_j I_{syn}^{(ij)} + I_p^{(i)},$$

Synaptic current

$$I_{syn}^{(ij)} = \frac{g_{synef}^{ij}(V^j - E_{syn})}{1 + \exp\left(\frac{-(V^i(t))}{k_{syn}}\right)},$$

Calcium dynamics (Ullah et al., 2006)

$$\begin{aligned} \frac{d[Ca_c]^{(m)}}{dt} &= J_{IP3R}^{(m)} - J_{SERCA}^{(m)} + J_{ERleak}^{(m)} + J_{in}^{(m)} - J_{out}^{(m)} + J_{diffCa}^{(m)}, \\ \frac{d[IP_3]^{(m)}}{dt} &= \frac{([IP_3]^* - [IP_3]^{(m)})}{\tau_r} + J_{PLC\delta}^{(m)} + J_{PLC\beta}^{(m)} + J_{diffIP3}^{(m)}, \end{aligned}$$

Astrocytic modulation of synaptic transmission

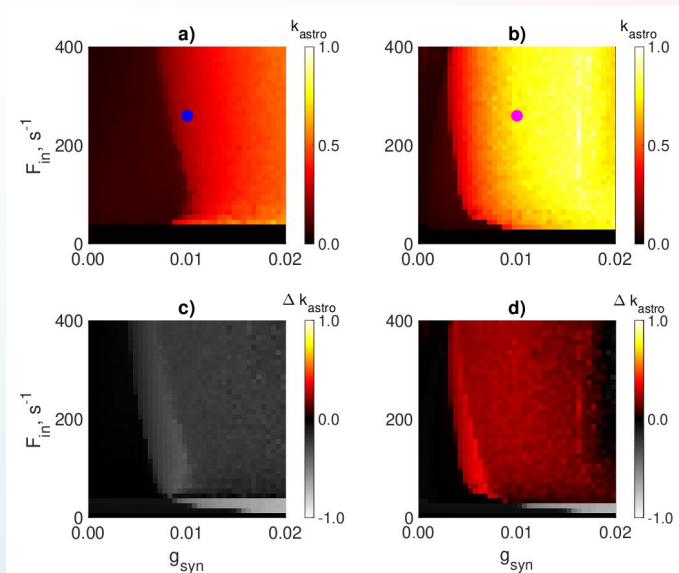
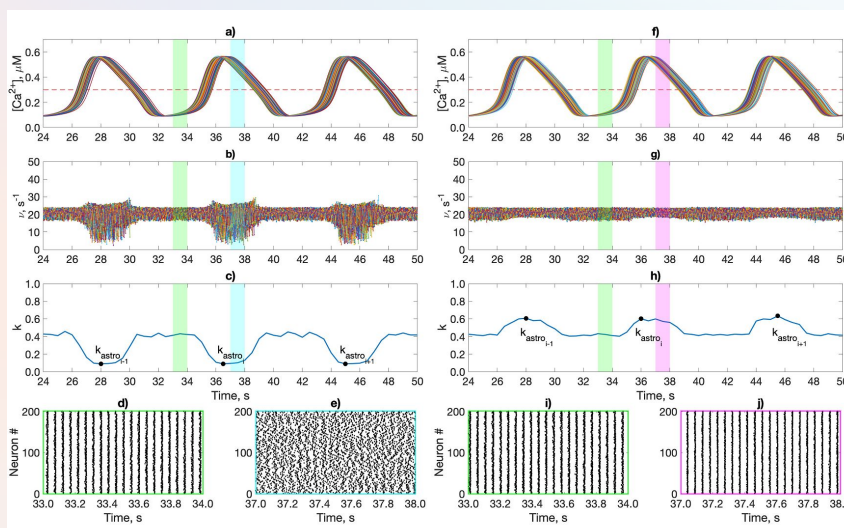
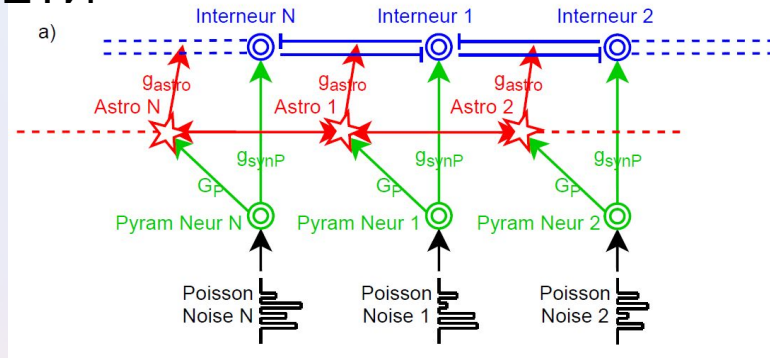
$$g_{synef}^{ij} = \begin{cases} g_{syn}(1 + g_{astro}[Ca_c]^{(m)}), & \text{if } [Ca_c]^{(m)} > 0.3 \mu M \\ g_{syn}, & \text{otherwise} \end{cases}$$



Astrocyte-induced intermittent synchronization of neurons in a minimal network

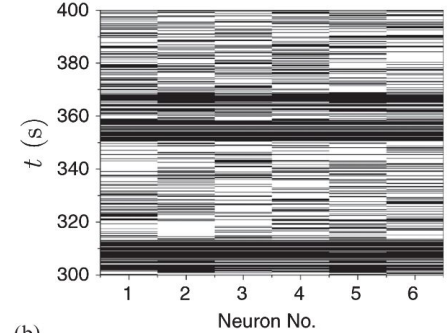
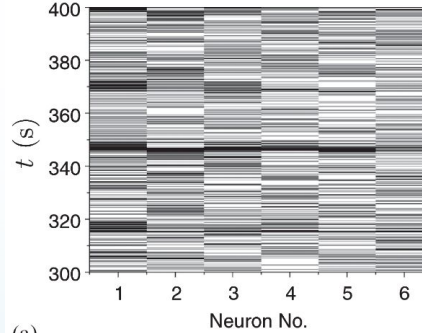
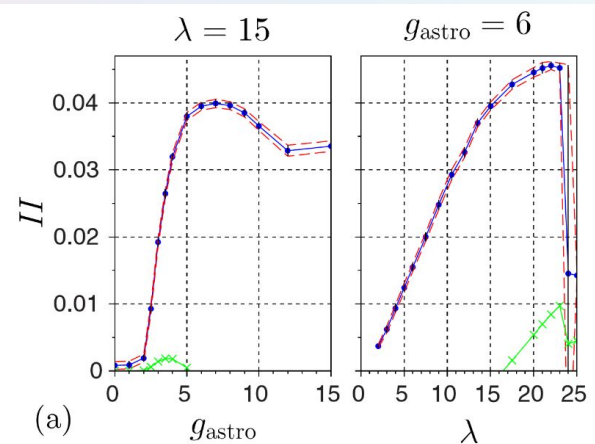
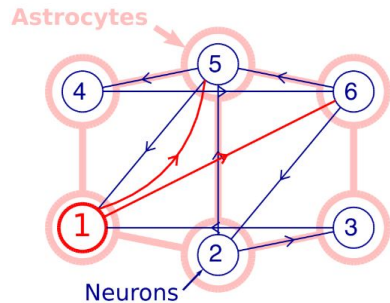
S Yu Makovkin^{a,*}, I V Shkerin^b, S Yu Gordleeva^{a,b}, M V Ivanchenko^a

МОДЕЛЬ НЕЙРОН-АСТРОЦИТАРНОЙ СЕТИ



НЕЙМАРК

ИНФОРМАЦИЯ В МОДЕЛЯХ НЕЙРОН-АСТРОЦИТАРНЫХ СЕТЕЙ



Integrated information (Barrett&Seth, 2011)

$$I_{\text{eff}}(AB) = I(x, y) - I(x_A, y_A) - I(x_B, y_B).$$

Mutual information

$$I(x, y) = H(x) + H(y) - H(xy)$$

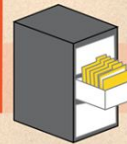
$$H(x) = - \sum_x p_x \log_2 p_x$$

Working Memory

The ability to temporarily hold and manipulate information for cognitive tasks performed in daily life.



Working memory holds information for a few seconds. It is temporary.



Working memory can hold only five to seven items at a time. It has a small capacity.



Working memory holds and manipulates information.



Working memory depends on control of attention and mental effort.

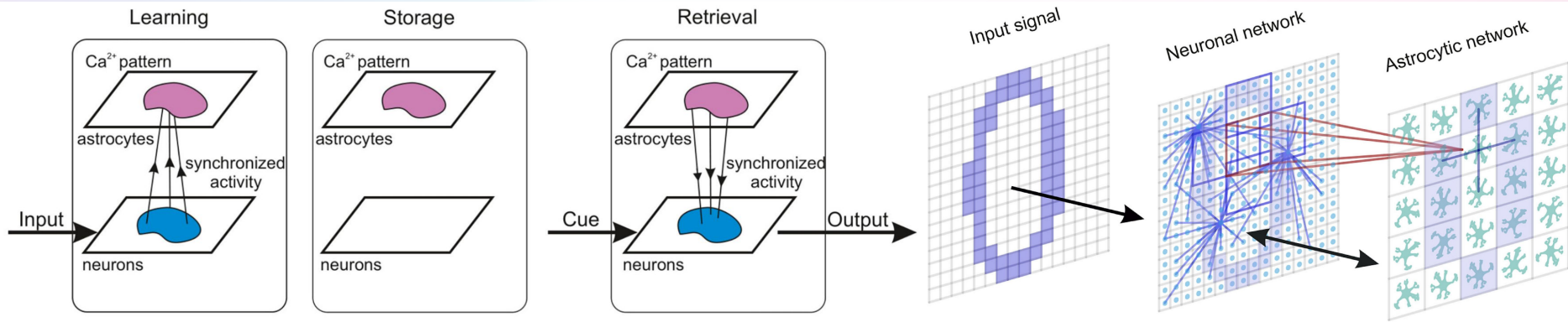
Why does the brain have astrocytic modulation of neuronal signaling?

What is the purpose of this modulation in terms of information processing and storage?

The coincidence of the characteristic times of calcium dynamics and astrocytic modulation of synaptic transmission with the times of short-term memory functioning.

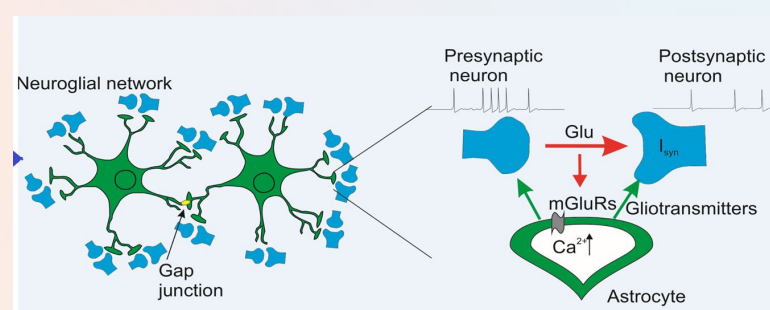
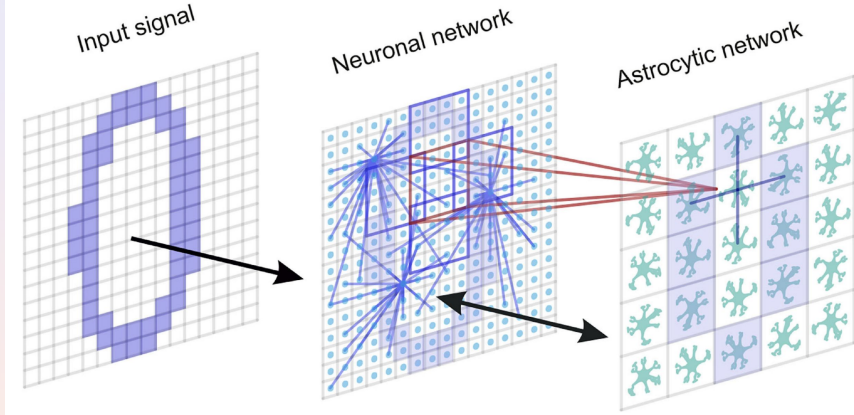
Modeling Working Memory
in a Neuron-Astrocyte Network

КОНЦЕПТ РАБОЧЕЙ ПАМЯТИ В СПЛАЙКОВОЙ МОДЕЛИ НЕЙРОН-АСТРОЦИТАРНОЙ СЕТИ



Considering the significance of WM processes and the challenge of finding alternative mechanisms and experimental evidence of the astrocytic role in information processing in CNS, it is interesting to study astrocyte-induced modulation of synaptic transmission in WM organization.

АРХИТЕКТУРА МОДЕЛИ



Izhikevich model (Izhikevich, 2003)



УНИВЕРСИТЕТ
ЛОБАЧЕВСКОГО
НИЖЕГОРОДСКИЙ ГОСУДАРСТВЕННЫЙ УНИВЕРСИТЕТ

$$\frac{dV^{(i,j)}}{dt} = 0.04V^{(i,j)(2)} + 5V^{(i,j)} - U^{(i,j)} + 140 + I_{\text{app}}^{(i,j)} + I_{\text{syn}}^{(i,j)};$$

$$\frac{dU^{(i,j)}}{dt} = a(bV^{(i,j)} - U^{(i,j)})$$

Synaptic current

$$I_{\text{syn}}^{(i,j)} = \sum_{k=1}^{N_{\text{in}}^{(i,j)}} \frac{g_{\text{syn}}^{(i,j)}(E_{\text{syn}} - V^{(i,j)})}{1 + \exp(\frac{V_{\text{pre}}^k}{k_{\text{syn}}})}$$

Calcium dynamics in astrocyte (Ullah et al., 2006):

$$\begin{aligned} \frac{d[\text{Ca}^{2+}]^{(m,n)}}{dt} &= J_{\text{ER}}^{(m,n)} - J_{\text{pump}}^{(m,n)} + J_{\text{leak}}^{(m,n)} + J_{\text{in}}^{(m,n)} - J_{\text{out}}^{(m,n)} \\ &+ \text{diff}_{\text{Ca}}^{(m,n)}; \\ \frac{dh^{(m,n)}}{dt} &= a_2 \left(d_2 \frac{IP_3^{(m,n)} + d_1}{IP_3^{(m,n)} + d_3} (1 - h^{m,n}) - [\text{Ca}^{2+}]^{(m,n)} h^{(m,n)} \right); \\ \frac{dIP_3^{(m,n)}}{dt} &= \frac{IP_3^* - IP_3^{(m,n)}}{\tau_{IP3}} + J_{\text{PLC}\delta}^{(m,n)} + J_{\text{glu}}^{(m,n)} + \text{diff}_{IP3}^{(m,n)}, \end{aligned}$$

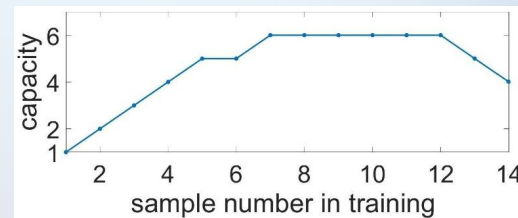
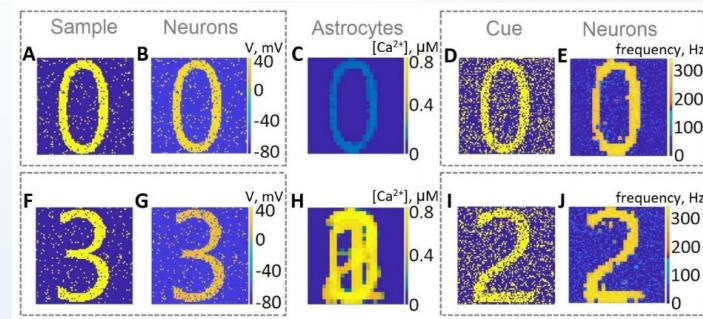
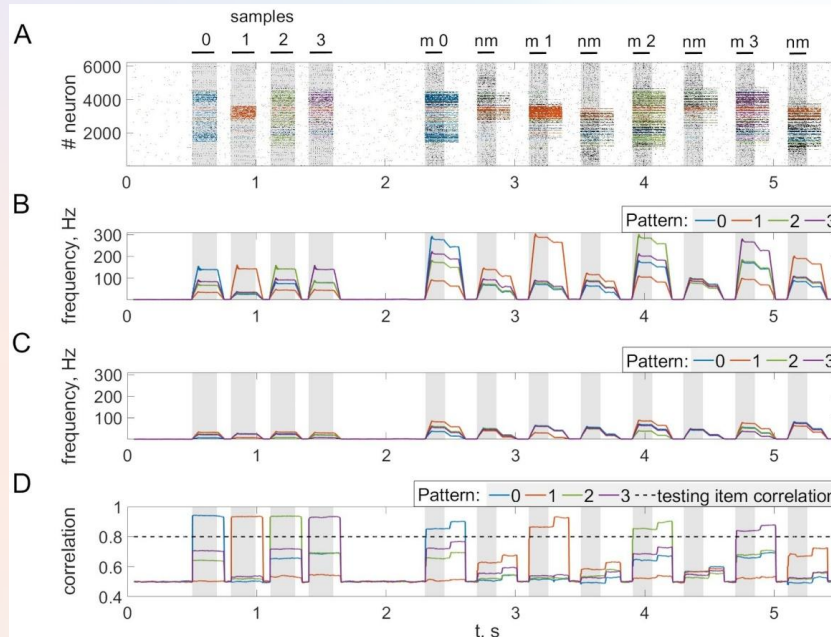
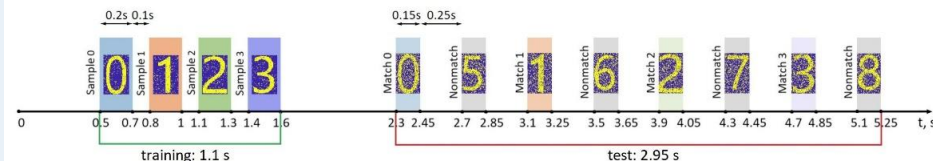
Astrocyte-induced modulation of the synaptic weight

$$g_{\text{syn}}^{(i,j)} = \eta + \nu_{\text{Ca}}^{(m,n)}$$

$$\nu_{\text{Ca}} = \nu_{\text{Ca}}^* \Theta([\text{Ca}^{2+}]^{(m,n)} - [\text{Ca}^{2+}]_{\text{thr}})$$

Multi-item Working Memory

Training and testing protocol

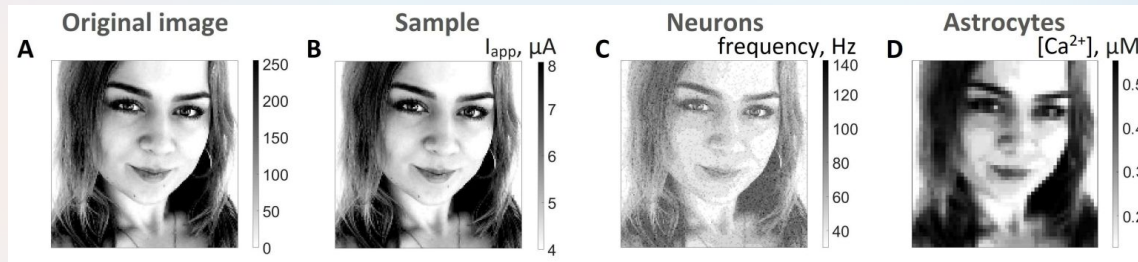
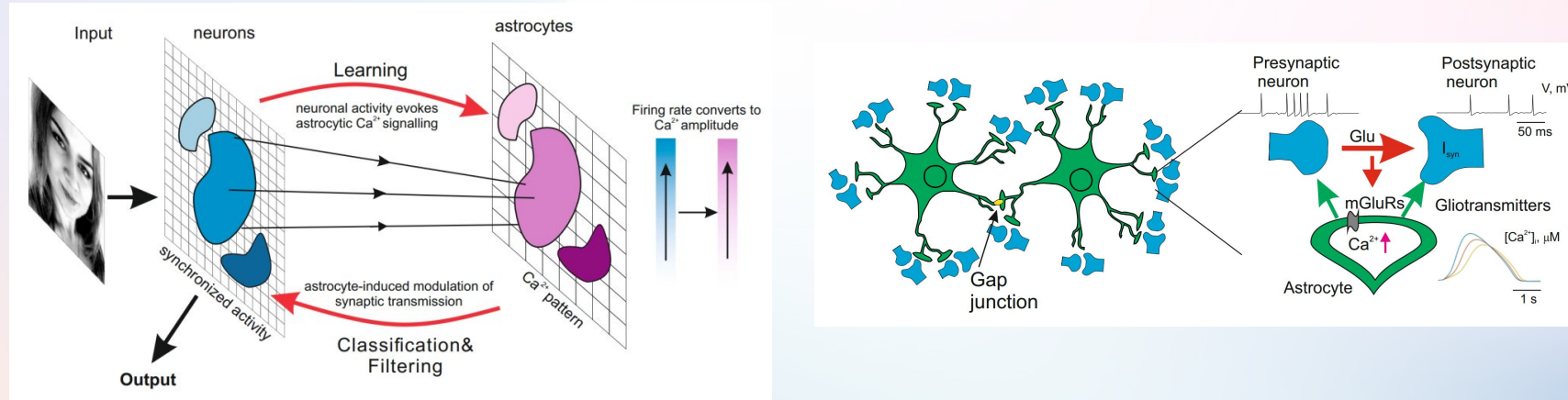


Gordleeva et al., Front. Cell. Neurosci.
doi: 10.3389/fncel.2021.631485



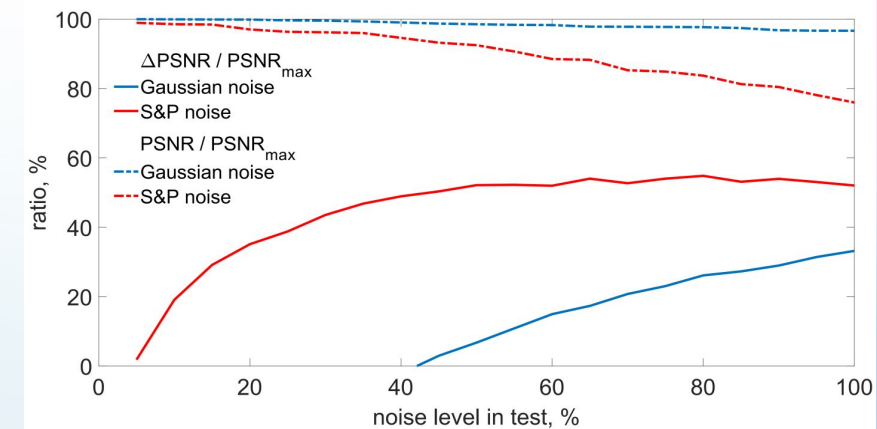
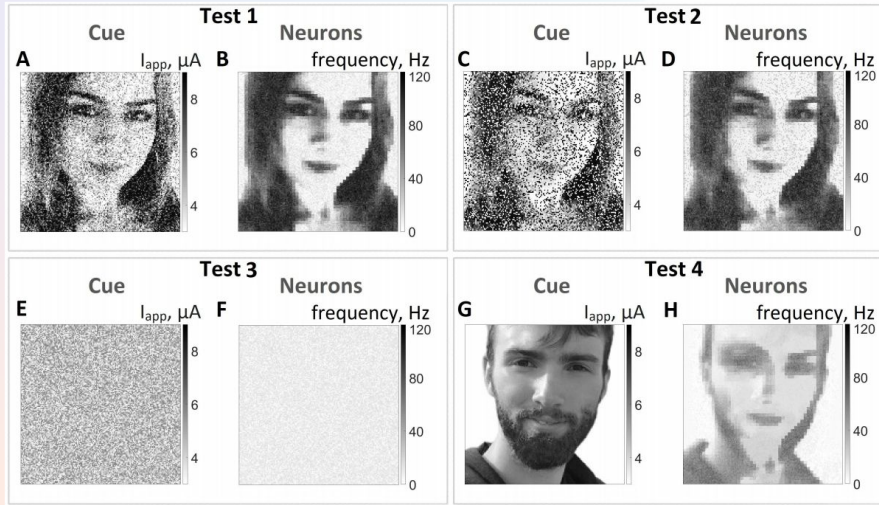
НЕЙМАРК

Analogous memory in a multi-layer neuron-astrocytic network



— НЕЙМАРК

Analogous memory in a multi-layer neuron-astrocytic network

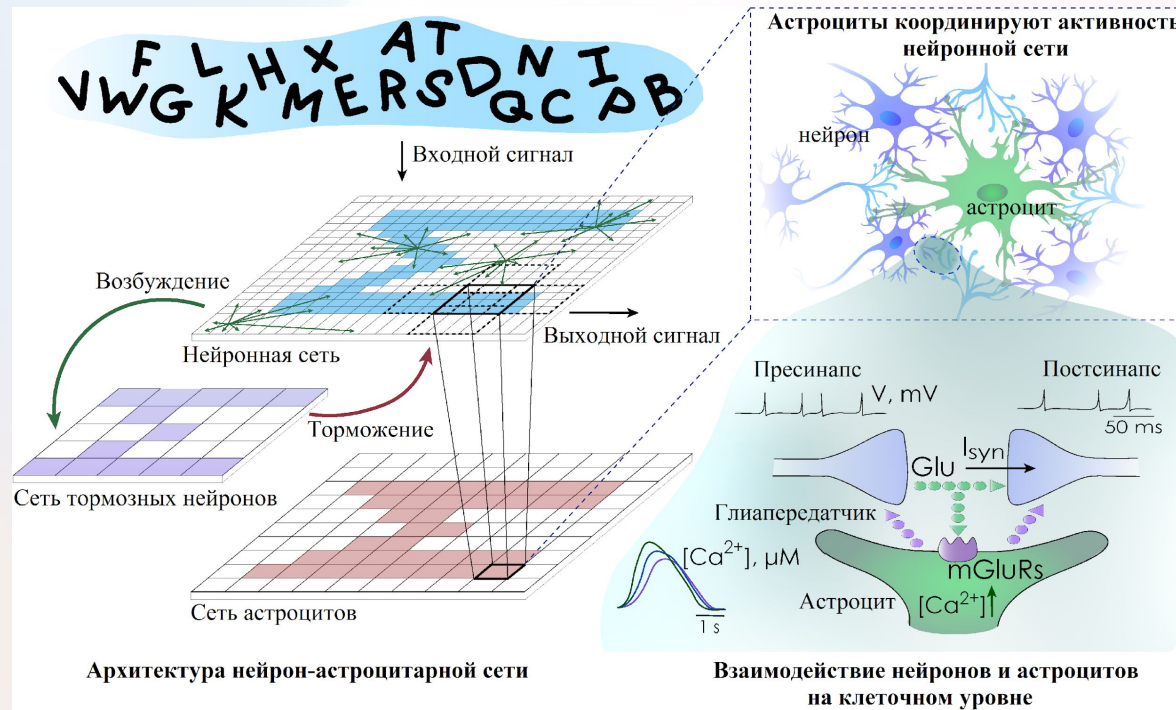


The system can robustly retrieve the memorized image even for a high noise level.

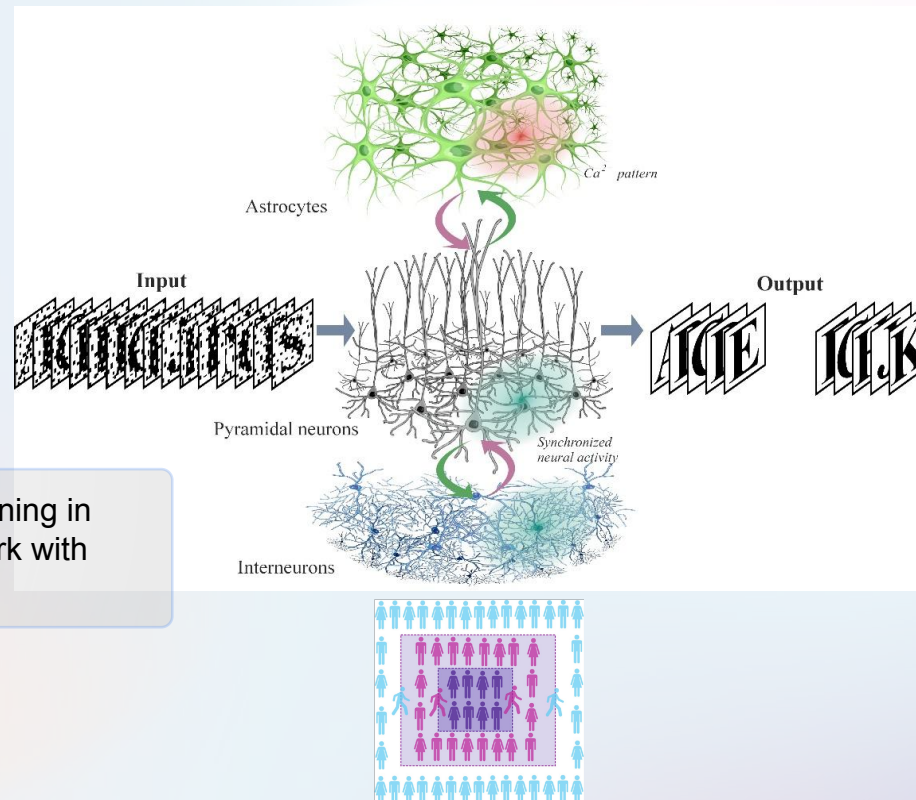
The model significantly improved the PSNR for pulse noise for all values within its level and for Gaussian noise for large values of its intensity.

НЕЙМАРК

НЕЙРОМОРФНЫЙ ИИ НА НЕЙРОН-АСТРОЦИТАРНЫХ СЕТЯХ



НЕЙРОМОРФНЫЙ ИИ НА НЕЙРОН-АСТРОЦИТАРНЫХ СЕТЯХ

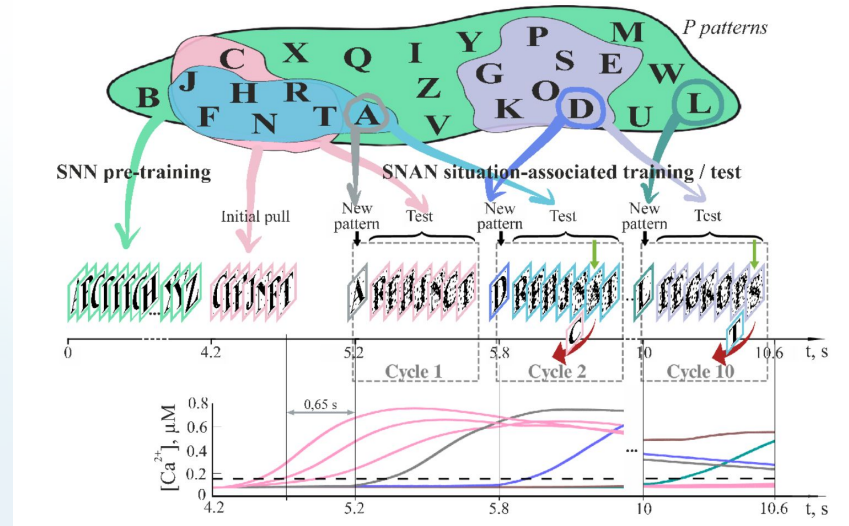
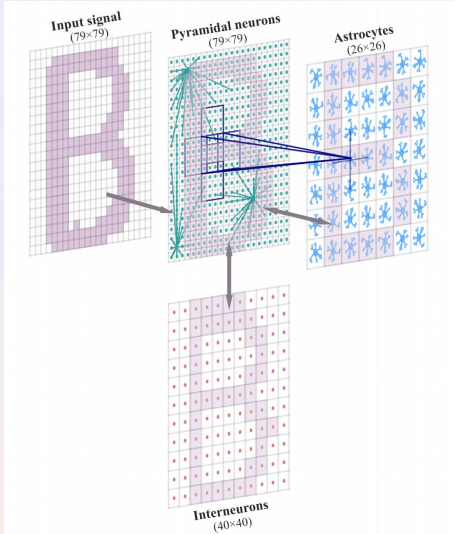


Situation-associated learning in
Neuron-Astrocyte Network with
STDP learning

A diagram of situation-based model of data

— НЕЙМАРК

НЕЙРОМОРФНЫЙ ИИ НА НЕЙРОН-АСТРОЦИТАРНЫХ СЕТЯХ



STDP learning rule

$$\delta w(\Delta t) = \begin{cases} A_0 \exp\left(\frac{\Delta t}{\tau_+}\right), & \Delta t \leq 0 \\ -A_0 \exp\left(\frac{\Delta t}{\tau_-}\right), & \Delta t > 0 \end{cases}$$

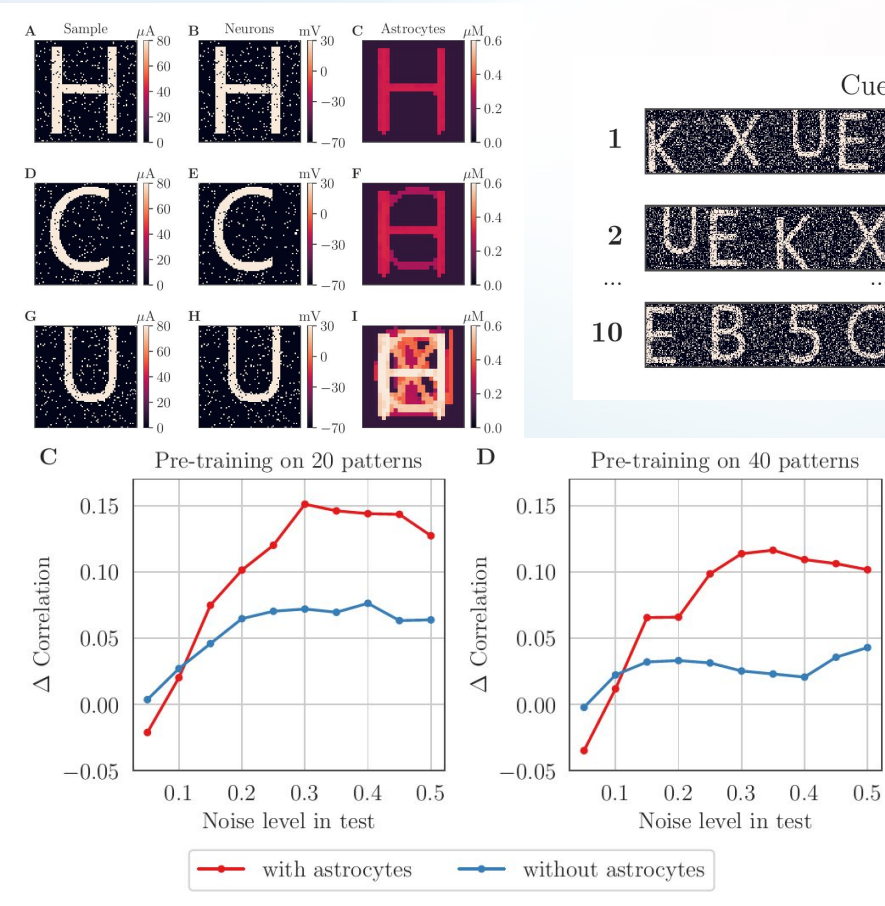
Astrocytic modulation of synaptic transmission:

$$W_{g_{syn} E \rightarrow E}^{(i,j)} = \eta (1 + v_{Ca})$$

$$v_{Ca} = v_{Ca}^* \Theta([Ca^{2+}]^{(m,n)} - [Ca^{2+}]_{thr}), \eta = [0, g_{syn}_{EE}]$$

НЕЙМАРК

НЕЙРОМОРФНЫЙ ИИ НА НЕЙРОН-АСТРОЦИТАРНЫХ СЕТЯХ



НЕЙМАРК

НАША КОМАНДА



Innokentiy Kastalskiy
Lobachevsky State University
of Nizhny Novgorod,
Nizhny Novgorod, Russia

kastalskiy@neuro.nnov.ru



Yuliya Tsybina
Lobachevsky State
University of Nizhny
Novgorod,
Nizhny Novgorod, Russia

lotarevaj@gmail.com



Mikhail Krivonosov
Lobachevsky State
University of Nizhny
Novgorod,
Nizhny Novgorod, Russia

mike_live@mail.ru



Victor Kazantsev
Head of Neurotechnology
Department,
Lobachevsky State University
of Nizhny Novgorod, Russia

Innopolis University, Russia

kazantsev@neuro.nnov.ru

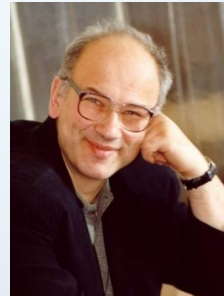


Alexey Zaikin
Lobachevsky State
University of Nizhny
Novgorod,
Nizhny Novgorod, Russia

Sechenov First Moscow
State Medical University,
Moscow, Russia

University College
London, London, UK

alexey.zaikin@ucl.ac.uk



Alexander Gorban
Lobachevsky State
University of Nizhny
Novgorod,
Nizhny Novgorod, Russia

University of Leicester,
Leicester, UK

a.n.gorban@leicester.ac.uk